

**SIMULACIÓN DEL CAMPO DE MICROONDAS EN UNA CÁMARA DE
DESCARGA RCE**

MAO TSETUNG MURILLO ACEVEDO

BUCARAMANGA

UNIVERSIDAD INDUSTRIAL DE SANTANDER

FACULTAD DE CIENCIAS

ESCUELA DE FÍSICA

2005

**SIMULACIÓN DEL CAMPO DE MICROONDAS EN UNA CÁMARA DE
DESCARGA RCE**

MAO TSETUNG MURILLO ACEVEDO

Trabajo presentado como requisito parcial para optar
el título de físico

Director: Ph.D VALERI DOUGAR JABON

BUCARAMANGA

UNIVERSIDAD INDUSTRIAL DE SANTANDER

FACULTAD DE CIENCIAS

ESCUELA DE FÍSICA

2005

A mi papá

AGRADECIMIENTOS

- A Dios, por todo.
- A la UIS por su apoyo y su calidad, mediante sus servicios de comedores y Residencias estudiantiles, los cuales me permitieron sostenerme para cumplir este sueño y a su buen personal docente, los cuales me enseñaron que había algo mas.
- Al doctor Valeri Dougar Jabon, por su apoyo y respaldo, para sacar adelante este proyecto.
- Al doctor Ilia D. Mikhailov, y al ficomaco por su paciencia y su valiosísima colaboración.
- A la escuela de física por su alta calidad y calor humano.
- A mi familia, a Sor Carmen B. Gómez y todos los que me apoyaron cuya colaboración no olvidaré.
- A toda la comunidad universitaria en donde encontré amigos y una mujer en la cual descubrí el amor.

CONTENIDO

	Página
INTRODUCCIÓN - - - - -	11
CAPÍTULO 1. Propagación de Ondas en el Plasma	
1.1 Constante Dieléctrica de Plasmas Isotrópicos - -	13
1.2 Ecuaciones de Maxwell - - - - -	17
1.21 Condiciones de Frontera- - - - -	20
CAPÍTULO 2. Modelos Matemáticos	
2.1 Separación de Variables - - - - -	21
2.11 Campo TM ($B_z = 0$, $E_z \neq 0$) - - - -	21
2.12 Radiación de Campo TE ($B_z \neq 0$, $E_z = 0$) --	22
2.13 Planteamiento del Problema para dos Tipos de Onda de Manera Compacta - - -	24
2.2 Barrido Trigonométrico - - - - -	26
2.21 Modelo para la Variación de la Permitividad $\epsilon(\rho)$ -	27
2.22 Adecuación de las Fórmulas para Programar - -	29
CAPÍTULO 3. Absorción De La Onda E Intervalos De Aplicabilidad Para Las Variables Involucradas	
3.1 Ancho de Banda y Absorción de la Onda - - -	30
3.2 Rango de los Valores Propios Axial ,Radial Y Angular- -	34
3.21 Análisis Del Intervalo de los Números discretos	

para el Caso Transversal Magnético-	-	-	-	-	34
3.22 Análisis del Intervalo de los Números discretos					
para el Caso Transversal Eléctrico -	-	-	-	-	36
 CAPÍTULO 4. Resultados Numéricos					
4.1 Cálculo de las Frecuencias Propias -	-	-	-	-	38
4.2 Análisis Cualitativo del Proceso de Simulación -	-	-	-	-	39
4.2.1 Dirección de Líneas -	-	-	-	-	40
4.2.2 Densidad de Líneas -	-	-	-	-	40
4.3 Líneas de Fuerza en un Corte Transversal	-	-	-	-	41
4.3.1 Campo Transversal Magnético -	-	-	-	-	41
4.3.2 Líneas de Fuerza Longitudinales -	-	-	-	-	44
 CAPÍTULO 5. Observaciones Y Conclusiones					
5.1 Régimen Multimodo -	-	-	-	-	47
5.2 Intensidad de Campo	-	-	-	-	48
 ANEXOS					
A. Ecuación de De Langevin	-	-	-	-	49
B. Planteamiento General del Problema-	-	-	-	-	51
C. Programa Hecho para Resolver el Problema General-	-	-	-	-	54
 REFERENCIAS	-	-	-	-	89
 BIBLIOGRAFÍA	-	-	-	-	90

INDICE DE FIGURAS

	Pág.
Fig. 1. Plasmas a diferentes temperaturas	16
Fig. 2. Sistema coordenado	18
Fig. 3. Curva de absorción	33
Fig. 4. Ilustración de cortes	39
Fig. 5. Campo magnético, $z=0.0\text{cm}$	42
Fig. 6. Campo magnético, $z=0.66\text{cm}$	43
Fig. 7. Campo magnético, en un periodo espacial	44
Fig. 8. Campo eléctrico	45
Fig. 9. Campo eléctrico, visto en un periodo espacial	45
Fig. 10. Intensidad de campo eléctrico, visto en un periodo espacial	46

TÍTULO: SIMULACIÓN DEL CAMPO DE MICROONDAS EN UNA CÁMARA DE DESCARGA RCE.¹

AUTOR: MAO T. MURILLO ACEVEDO.²

PALABRAS CLAVES: ECUACIONES DE MAXWELL, SIMULACIÓN DE CAMPO, CAVIDAD RESONANTE, PERMITIVIDAD ELECTRICA.

RESUMEN

Como un paso previo en el análisis de la nueva trampa magnética, cero-B, ideada por Laboratorio de Física del Plasma bajo la dirección del doctor Dougar Jabon, se estudia la distribución del campo de microondas dentro de una cámara de descarga de una fuente de iones tipo mínimo-B. Para el plasma, se usa el modelo de dipolos oscilantes, con el fin de mejorar los resultados obtenidos para la aproximación del plasma homogéneo.

Para hacer que el estudio fuera mas realista se toma en cuenta las perdidas de potencia en las paredes de la cámara y se considera la no homogeneidad radial del plasma, usando un modelo lineal para la variación de la permitividad del medio. Se toman en consideración los valores de la temperatura en el eje y la condición para la densidad electrónica en las paredes de la cavidad. Para la visualización de los resultados de simulaciones acerca del campo de microondas se utiliza el modelo de líneas de fuerza. Se demuestra que la distribución del campo tiene un carácter complejo con variaciones significativas tanto en la dirección radial como longitudinal. Para alcanzar la efectividad máxima de absorción de microondas es necesario tomar en consideración la distribución fuertemente no homogénea del campo de microondas. La configuración del campo magnético obtenida garantiza que la superficie resonante pasa parcialmente por máximos del campo de microondas.

¹Proyecto de Grado

²Facultad de Ciencias, Escuela de Física, Director: Valery Dougar Jabon.

TITLE: FIELD MICROWAVE IN RCE DISCHARGE CHAMBER SIMULATION

AUTHOR: MAO T. MURILLO ACEVEDO.²

KEY WORDS: MAXWELL EQUATIONS, FIELD SIMULATION, RESONATOR CAVITY, ELECTRIC PERMITTIVITY.

ABSTRACT

For a previous step in the study of new magnetic tramp for plasma confining, zero-B, proposed by the Plasma Physic Laboratory headed by doctor Dougar Jabon, it is studied the microwave field distribution a discharge chamber with plasma of an ion source. In order to consider plasma influence, a model of oscillates dipoles is used.

To make the study more realistic, the energy losses in the walls and the plasma inhomogeneity are took in consideration. A radial change in permittivity is used in limits of a lineal model where the values of temperature on the axe and electron density at the cavity walls are parameters. In order to visualize the microwave field simulation results the model of force lines is used. It is shown that the field distribution has a complex structure as in the radial direction as in the longitudinal direction. It is necessary consider the distribution strong inhomogeneity of the microwave field in order achieve the maximum efficiency of microwave absorption. The magnetic field configuration is to guarantee that the resonance surface pass partially through the microwave field maxima.

¹Degree Project

²Facultad de Ciencias, Escuela de Física, Director: Valery Dougar Jabon.

INTRODUCCIÓN

El gran interés de los investigadores de diferentes países en la elaboración de fuentes iónicas mostrado en las últimas décadas está relacionado con una amplia variedad de posibles aplicaciones de estos dispositivos, como aceleradores para investigación nuclear, tratamiento y modificación de semiconductores y superficies metálicas, separadores de isótopos, espectrógrafos de masas y como medio para orientación fina de satélites, etc.

Las fuentes de iones positivos se pueden subdividir en dos grupos: los generadores de iones levemente cargados y las que producen iones altamente cargados. En ambos casos los requisitos que deben satisfacer estas fuentes son: alta productividad, bajo nivel de flujo de gas desde la fuente (es decir alta eficiencia de ionización), alto rendimiento energético, alto brillo y bajo nivel de emitancia.

Aunque utilizadas desde hace más de un siglo los filamentos de vida corta y los cátodos calientes en las fuentes de iones podrían ser reemplazados si es posible por sistemas sin estos elementos que limitan el tiempo de funcionamiento continuo.

Una posibilidad que encuentra amplia aplicación es reemplazo de los sistemas con electrodos en las fuentes iónicas por sistemas plásmicos sin electrodos. Esta tarea es cumplida por los ECRIS (fuentes iónicas con resonancia ciclotrónica electrónica). Una amplia información sobre diferentes tipos de fuentes iónicas diseñadas hasta el momento y acerca de parámetros de haces iónicos extraídos de estas se puede encontrar en las referencias [1-7].

En el área de la física del plasma como en otras ramas de la misma que manejan un sistema de muchas partículas por imposibilidad de encontrar soluciones de manera analítica se utilizan en la mayoría de los casos modelo empíricos o semi-empíricos. Esta situación se complica cuando el plasma está sometido a campos externos no estacionarios debido a la necesidad de resolver un conjunto de ecuaciones electrodinámicas en un medio asimétrico y no homogéneo. De aquí la gran importancia que tiene el análisis computacional de dinámica del plasma para obtener los resultados que posibiliten diagnosticar de manera más óptima un plasma en campos electromagnéticos alternos y estacionarios.

Una de las líneas magistrales del Laboratorio de Física del Plasma (Escuela de Física, UIS) es el estudio computacional detallado de fuentes iónicas modernas. Estas fuentes se basan en el fenómeno de resonancia ciclotrónica electrónica (RCE) que se realiza en trampas magnetostáticas tipo mínimo-B [8].

Con el fin de optimizar el funcionamiento de las fuentes iónicas, el Laboratorio de Física del Plasma bajo la dirección del doctor Dougar Jabon fue propuesta una nueva trampa para confinar plasmas [9] llamada cero-B y por eso surge la necesidad de estudiar el comportamiento del plasma en presencia de campos externos dentro de esta trampa de nueva configuración. La propuesta presentada está diseñada para dar un paso previo que permita junto con otros estudios, realizar en el futuro simulaciones numéricas acerca del comportamiento del plasma en trampas cero-B en condiciones RCE.

CAPÍTULO 1

PROPAGACIÓN DE ONDAS EN EL PLASMA

Por propiedades eléctricas el plasma tiene analogía con tanto materiales dieléctricos como conductores. En la analogía dieléctrica los electrones son tratados como cargas enlazadas, las cuales son asociadas con un ion positivo para formar un dipolo eléctrico. En la analogía con un conductor eléctrico los electrones son tratados como cargas libres cuya respuesta a campos aplicados es impedida por interacciones con otras partículas.

El hecho de que el plasma pueda ser visto en estos dos tipos alternativos demuestra su comportamiento complejo. Como un conductor se encuentra que la conductividad del plasma tiene ambas partes imaginaria y real indicando componentes de corriente resistivas y reactivas. Como un dieléctrico se encuentra que la constante dieléctrica es compleja, resultando en pérdidas volumétricas.[10]

1.1 Constante Dieléctrica De Plasmas Isotrópicos

Consideremos un plasma para el cual el modelo de Lorentz es aplicable (ver apéndice A), cuando este está sujeto al paso de una onda electromagnética, pero en ausencia de un campo magnético aplicado. Entonces en la ecuación de Langevin el campo eléctrico es un vector oscilante.

Ahora la onda electromagnética está compuesta de un campo eléctrico **E** y un campo magnético **H**. Si consideremos la magnitud de las fuerzas ejercidas sobre

el electrón debido a estos campos vemos, que si la velocidad de los electrones es menor que la de la luz, la magnitud del campo eléctrico \vec{E} de la onda electromagnética resulta ser mucho mayor que la del campo magnético \vec{H} . Por lo tanto despreciando el campo magnético obtenemos [10]

$$m\dot{\vec{v}} + m\nu_{en}\vec{v} = -e\vec{E}. \quad (1.2.1)$$

Ahora el movimiento de los electrones bajo la influencia de este campo puede explicarse gracias a una corriente de conducción en el modelo dieléctrico. Donde se supone que los electrones solo pueden oscilar alrededor de su posición de equilibrio. Si la elongación de estos la denotamos como x , la ecuación de movimiento puede ser escrita como:

$$m\ddot{\vec{x}} + m\nu_{en}\dot{\vec{x}} = -e\vec{E}. \quad (1.2.2)$$

Asumiendo que la variación del tiempo es de la forma $e^{-i\omega t}$, la fórmula quedaría

$$-\omega^2 m\vec{x} - i\omega m\nu_{en}\vec{x} = -e\vec{E}. \quad (1.2.3)$$

Recordemos que

$$\vec{P} = -N_e \vec{x} = \epsilon_0 \alpha \vec{E}, \quad (1.2.4)$$

donde \mathbf{P} es el vector de momento dipolar por unidad de volumen y α es la susceptibilidad eléctrica del plasma.

De estas ecuaciones encontramos la forma como varía la susceptibilidad eléctrica:

[10]

$$\alpha = - \frac{N_e e^2}{m \varepsilon_0 \omega (\omega + i \nu_{en})} , \quad (1.2.5)$$

Ahora podemos describir esta ecuación introduciendo la frecuencia plásmica, ω_p definida como

$$\omega_p^2 = N_e e^2 / (m \varepsilon_0) \quad (1.2.6)$$

y

$$\alpha = - \frac{\omega_p^2}{\omega^2 + \nu_{en}^2} + i \frac{\omega_p^2 \nu_{en} / \omega}{\omega^2 + \nu_{en}^2} . \quad (1.2.7)$$

La constante dieléctrica del plasma ε_r está dada por $\varepsilon_r = 1 + \alpha$. La permitividad relativa dentro de un plasma caliente depende tanto de la frecuencia de la onda incidente como de la frecuencia de oscilaciones plásmicas. Para casos en los cuales podamos despreciar las colisiones comparadas con las dos frecuencias (como es nuestro caso $\nu_{en} \ll \omega$) obtenemos para la permitividad

$$\rightarrow \varepsilon_r \approx 1 - \omega_p^2 / \omega^2 \quad (1.2.8)$$

Como vemos la frecuencia de oscilación del plasma depende de la densidad electrónica, por tanto la permitividad también. En nuestra tesis se plantea tomar en

cuenta el efecto del cambio de la densidad electrónica en la dirección radial (saliendo del eje de la cavidad) X debido a que la densidad electrónica depende de la temperatura y esta varia en esa dirección puesto que en el centro el plasma es más caliente y en las paredes algo más frío.

A continuación mostramos la graficas de nubes de concentración electrónica para tres tipos de plasmas con diferentes temperaturas

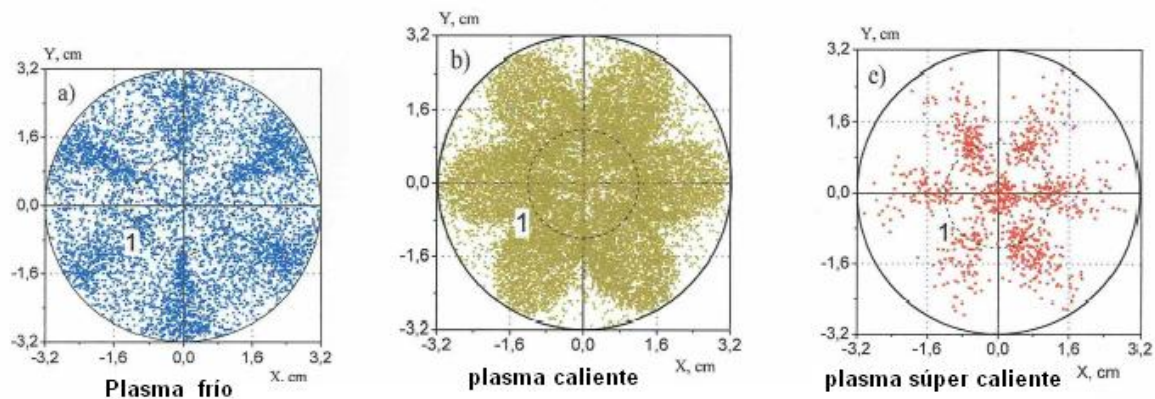


Figura 1.2.1

Nosotros vamos a trabajar con plasmas calientes, el cual podemos observar en la figura 1.2.1. Además de la dependencia radial de la concentración electrónica también hay una dependencia azimutal, donde se ve que la concentración electrónica es angularmente simétrica con periodos de $\pi/3$. Si nosotros tomamos en cuenta dicha dependencia, en el modelo para la permitividad, las ecuaciones de Maxwell se hacen muy difíciles de resolver ya que tendríamos un sistema de ecuaciones en derivadas parciales acoplados lo que nos impediría separar la onda en sus dos modos habituales transversal eléctrico y transversal magnético.

1.3 Ecuaciones De Maxwell

Las ecuaciones de Maxwell que describen el campo electromagnético en nuestro caso, debido a la ausencia de fuentes externas, se pueden presentar como [12], [11]

$$\nabla \times \mathbf{E} = i \omega \mathbf{B}, \quad (1.3.1)$$

$$\nabla \times \mathbf{H} = -i \omega \epsilon \mathbf{E}, \quad (1.3.2)$$

$$\nabla \cdot \mathbf{D} = 0, \quad (1.3.3)$$

$$\nabla \cdot \mathbf{B} = 0. \quad (1.3.4)$$

La relación entre la inductancia magnética y la tensión magnética esta dada por $\mathbf{B} = \mu \mathbf{H}$, típicamente μ/μ_0 difiere muy poco de la de la unidad, entonces esta ecuación se transforma en

$$\mathbf{B} = \mu_0 \mathbf{H} \quad (1.3.5)$$

Aplicando el rotacional, a la ecuación (1.3.1) y reemplazando en la ecuación (1.3.2) obtenemos:

$$\nabla^2 \mathbf{E} + \omega^2 \epsilon \mu_0 \mathbf{E} - \nabla (\nabla \cdot \mathbf{E}) = 0. \quad (1.3.6)$$

Aplicando el rotacional, a la ecuación (1.3.2) y reemplazando en la ecuación (1.3.1) obtenemos:

$$\nabla^2 \mathbf{B} + \omega^2 \epsilon \mu_0 \mathbf{B} + \epsilon^{-1} \nabla \epsilon \nabla \cdot \mathbf{B} = 0 . \quad (1.3.7)$$

Nosotros sabemos que en la dirección z tenemos una onda estacionaria por tanto podemos asumir que los campos dependen ya sea del seno o coseno y de antemano aseguramos que $\partial_{zz} \mathbf{E} = -k^2 \mathbf{E}$ e igualmente para el campo magnético por ejemplo, $\mathbf{E}(x,y,z) = \mathbf{E}(x,y)\sin(kz)$.

Lo que determina el tipo de función seno o coseno nos lo dicen las condiciones de frontera para las ondas TE o TM.

Ahora valiéndonos de la simetría del problema es conveniente describir los campos en dos componentes, una paralela a la sección transversal del cilindro y otra longitudinal. Las cámaras de todas las fuentes ECRIS son cilíndricas, para nuestro trabajo tomamos un cilindro orientado en el eje z, como muestra la figura:

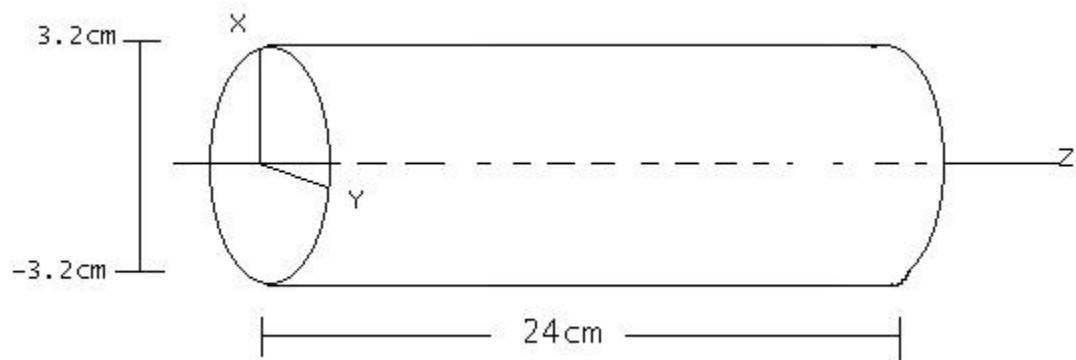


Figura 1.3.1

En este caso los campos se pueden separar en dos componentes:

$$\mathbf{E} = \mathbf{E}_t + \mathbf{E}_z, \quad (1.3.8)$$

$$\mathbf{B} = \mathbf{B}_t + \mathbf{B}_z \quad (1.3.9)$$

y el operador nabla adopta la forma $\nabla = \nabla_t + \nabla_z = \nabla_t + \hat{\mathbf{z}}\partial_z$, donde ∇_t es el gradiente en la dirección transversal, $\hat{\mathbf{z}}$ es el vector unitario en la dirección z y ∂_z es la derivada parcial con respecto a z .

Podemos expresar las componentes transversales en función de las longitudinales

$$\mathbf{B}_t = \gamma^{-2} (i\omega\epsilon\mu_0 \hat{\mathbf{z}} \times \nabla_t E_z + \partial_z \nabla_t \mathbf{B}_z), \quad (1.3.15)$$

$$\mathbf{E}_t = \gamma^{-2} (\partial_z \nabla_t E_z - i\omega \hat{\mathbf{z}} \times \nabla_t \mathbf{B}_z), \quad (1.3.16)$$

donde $\gamma^2 = \omega^2\epsilon\mu_0 - k^2$.

A partir de la componente en z , se puede obtener el campo transversal, solo es necesario conocer la ecuación diferencial para dicha componente, tomando en cuenta que para los casos que trataremos, los modos de propagación se pueden separar en una E-onda y una B-onda, los cuales se pueden trabajar de manera independiente; puesto que no existe un acople entre ellas, en el sistema de ecuaciones en derivadas parciales, es decir para el caso de una onda TE $E_z = 0$, mientras que $B_z \neq 0$ y viceversa [12].

1.31 Condiciones De Frontera

Como el campo \mathbf{E} es continuo en su parte tangencial y dentro del interior de un conductor el campo es cero, entonces la componente del campo en la dirección tangencial es nula, esta condición de frontera para el campo longitudinal se puede escribir como:

$$E_z|_s = 0 \quad (1.3.17)$$

La condición de frontera para el campo magnético también se determina por propiedades de las paredes de la cámara. Para las paredes con pérdidas insignificantes la componente normal resulta ser cero, $\mathbf{B} \cdot \mathbf{\hat{n}} = 0$. Aplicando esta condición sobre B_z obtenemos:

$$\partial_n B_z|_s = 0 \quad (1.3.18)$$

En resumen son las ecuaciones (1.3.6), (1.3.7), (1.3.15), (1.3.16), (1.3.17) y (1.3.18) son las fórmulas finales para resolver nuestro problema [12].

CAPÍTULO 2

MODELOS MATEMÁTICOS

2.1 Separación De Variables

Para empezar a resolver este problema, utilizando las ecuaciones anteriores, lo dividiremos en dos partes para cada uno de los diferentes modos.

2.11 Campo TM ($B_z = 0$, $E_z \neq 0$)

La ecuación diferencial para E_z que resulta desde las ecuaciones de Maxwell:

$$\epsilon \nabla_t^2 E_z + \gamma^2 \epsilon E_z - \gamma^{-2} k^2 \partial_\rho \epsilon \partial_\rho E_z = 0,$$

$$\mathbf{E}_t = \gamma^{-2} (\partial_z \nabla_t E_z).$$

Si ahora añadimos las condiciones de frontera para el extremo de la guía para el campo transversal, $\mathbf{E}_t = 0$, y tomando en cuenta la ecuación para la onda estacionaria longitudinal, entonces se ve que: $E_z = F(\rho, \theta) \cos(kz)$, $k = k_n = n \pi l^{-1}$, donde $n \in \mathbb{N}$ y l es la longitud de la cámara de descarga. Al valor n lo denominaremos como el número discreto axial.

Continuamos con el proceso de separación de variables.

$\rightarrow F = R(\rho) A(\theta) \rightarrow D_{\theta\theta} A + v^2 A = 0 \rightarrow A(\theta) = a e^{iv\theta}$, donde D_θ es la derivada total con respecto a θ ; pero para que la función sea uníváluada y además presente un periodo de $\pi/3$, esto último para compensar el hecho de la dependencia angular de la distribución electrónica expuesto anteriormente, entonces:

$$A(\theta) = A(\theta + \pi/3) \rightarrow v \pi /3 = 2 \pi m , m \in \mathbb{N} \rightarrow v = 6m$$

$$\rightarrow A(\theta) = ae^{i6m\theta} \quad (2.1.1)$$

Aquí m se denomina el número azimutal

Retomando la parte radial finalmente llegamos a la ecuación:

$$\epsilon D_{\rho\rho}R + \rho^{-1}\epsilon D_{\rho}R - \gamma^{-2}k^2 D_{\rho}\epsilon D_{\rho}R - \rho^{-2}\epsilon 36m^2R + \gamma^2\epsilon R = 0 \quad (2.1.2)$$

Recordemos las condiciones de frontera: $E_z|_s = 0$ (1.3.17) y $R(R_o) = 0$ donde R_o es el radio del cilindro de la cámara de descarga.

Como la ecuación no sale auto-adjunta, esto complica mucho nuestro trabajo para hallar los valores de las frecuencias puesto que estas pueden ser complejas haciendo que nuestro trabajo de programación se vuelva más complicado, ya que nada garantiza que la frecuencia sea real.

Debido a que la variación de la permitividad debe ser suave podemos aprovecharnos de esto para aproximar la ecuación de manera más favorable.

Tomamos $\gamma^{-2}D_{\rho}\ln(\epsilon) \approx 0$, es decir despreciamos este término, gracias a su lenta variación y a que la frecuencia es muy grande lo que hace que γ^{-2} sea pequeño.

Es decir despreciamos este término. El valor $\gamma^{-2} \approx 1.179 \times 10^{-5} m^2$.

Lo que proponemos es tomar la parte auto adjunta de nuestra ecuación, puesto que este problema es más cómodo de manejar ya que de esta forma podemos garantizar que las frecuencias propias al cuadrado son valores reales. Entonces finalmente obtenemos la ecuación:

$$\rho^{-1}D_{\rho}\rho D_{\rho}R - \rho^{-2}36m^2R + \gamma^2R = 0, \quad (2.1.3)$$

$$R(R_0) = 0. \quad (2.1.4)$$

Ahora hacemos el reemplazo $R(\rho) = U(\rho)\rho^{6m}$ con el objetivo de retirar las singularidad de ρ^{-2} en el centro de la cavidad, ya que estas no tienen sentido físico.

$$\rho D_{\rho\rho}U + (12m+1)D_{\rho}U + (\omega^2\epsilon\mu_0 - k^2)U\rho = 0 \quad (2.1.5)$$

$$U(R_0) = 0$$

2.12 Radiación de campo TE ($B_z \neq 0$, $E_z = 0$)

Escribimos ecuación diferencial para B_z :

$$\rightarrow \nabla^2 B_z + \omega^2\epsilon\mu_0 B_z + \epsilon^{-1}(\nabla\epsilon \times \nabla \times \mathbf{B})_z = 0. \quad (2.16)$$

Si ahora añadimos las condiciones de frontera para el extremo de la guía para el campo transversal, $E_t=0$, entonces se ve que: $B_z = F(\rho,\theta)\sin(kz)$, $k = k_n = n\pi/l$, donde $n \in \mathbb{N}$ y l es la longitud de la cámara de descarga.

Continuando con el proceso de separación de variables analógicamente al caso anterior.

$$\rho\gamma^2 D_{\rho\rho}R - \rho\omega^2\mu_0 D_{\rho}\epsilon D_{\rho}R + \gamma^2 D_{\rho}R - \rho^{-1}\gamma^2 36m^2 R - \rho\gamma^2 k^2 R + \rho\gamma^2 \omega^2\epsilon\mu_0 R = 0,$$

$$\rightarrow D_{\rho}R(R_0) = 0$$

Como vemos esta ecuación tampoco es auto adjunta, así que basados en las asunciones anteriores la rescribimos para poder aproximar a una forma más conveniente.

$$\gamma^2 D_\rho \epsilon D_\rho R \approx 0,$$

$$\rho^{-1} D_\rho \rho D_\rho R - \rho^{-2} R 36m^2 + \gamma^2 R = 0.$$

Ahora hacemos el reemplazo $R(\rho) = U(\rho)\rho^{6m}$ con el objetivo de retirar las singularidad de ρ^{-2} en el centro de la cavidad guiándonos por el procedimiento anterior y en vista que la ecuación resulta ser la misma que para el caso transversal magnético, llegamos a:

$$\rho D_{\rho\rho} U + (12m + 1) D_\rho U + \gamma^2 U \rho = 0,$$

$$6m(Ro)^{-1} U(Ro) + D_\rho U(Ro) = 0$$

2.13 Planteamiento del problema para los dos tipos de onda de manera compacta

Como las ecuaciones poseen la misma forma, diferenciándose solo en las ecuaciones de frontera podemos trabajar el problema de forma más general en una sola ecuación compacta.

Nuestro problema lo podemos escribir de la siguiente manera:

$$D_{\rho\rho} U + \rho^{-1} (12m + 1) D_\rho U + \gamma^2 U = 0 \quad ; \quad \gamma^2 = \omega^2 \epsilon \mu_o - k^2$$

$$[e + b 6m(Ro)^{-1}] U(Ro) + b D_\rho U(Ro) = 0$$

con $(e, b) = (1, 0)$ para el caso de una onda transversal magnética y

$(e, b) = (0, 1)$ para el caso de una onda transversal eléctrica.

Como necesitamos otra condición para que nuestro problema sea univaluado, por tanto miramos el comportamiento para el caso cuando $\rho \rightarrow 0$, con el objeto de hallar alguna condición física que nos permita imponer una restricción más.

Entonces encontramos que U es de la forma:

$$U(\rho) = a \left(1 - \frac{\gamma_0^2 \rho^2}{4(6m+1)} \right) \quad \text{cuando } \rho \rightarrow 0.$$

Entonces debido a que esta ecuación es válida para pequeños valores de ρ , restringimos el rango de este hasta un pequeño valor δ . Con nuestra estimación de la función $U(\rho)$ buscamos un valor en δ que pueda utilizar como condición de frontera para plantear un problema de contorno

$$\frac{1}{U(\delta)} \frac{dU(\delta)}{d\rho} = \frac{-\gamma_0^2 \delta}{2(6m+1) - \gamma_0^2 \delta^2 / 2}.$$

Ahora rescribimos la ecuación de frontera en R_0

$$\frac{1}{U(R_0)} \frac{dU(R_0)}{d\rho} = \frac{-e - b6m/R_0}{b}.$$

2.2 Barrido Trigonométrico

El objetivo del barrido trigonométrico es poder reducir el orden de una ecuación diferencial de segundo orden a un sistema de ecuaciones diferenciales de primer orden desacoplados, mediante un cambio de variables sencillo.

$$U(\rho) = A(\rho)\cos[\varphi(\rho)] \quad (2.2.1)$$

$$D_\rho U(\rho) = A(\rho)\sin[\varphi(\rho)] \quad (2.2.2)$$

Obteniendo el siguiente conjunto de fórmulas para resolver:

$$D_\rho \varphi = -[\sin^2 \varphi + (2\rho)^{-1}(12m + 1)\sin 2\varphi + \gamma^2 \cos^2 \varphi] \quad (2.2.4)$$

$$\rightarrow \varphi(\delta) = -\arctan([2(6m + 1) - \gamma_0^2 \delta^2 / 2]^{-1} \gamma_0^2 \delta) \quad (2.2.5)$$

$$\varphi(R_0) = -\arctan([e + b6m(R_0)^{-1}]b^{-1}) - p\pi, \quad p \in \mathbb{N} \quad (2.2.6)$$

a p lo denominaremos como el número radial.

$$\rightarrow A(\delta) = 2a [(2(6m + 1) - \gamma_0^2 \delta^2 / 2)^2 + \gamma_0^4 \delta^2]^{1/2} / [4(6m + 1)]$$

$$A(\rho) = A(\delta) \exp \int_\delta^\rho \sin \varphi (\cos \varphi - \frac{(12m + 1)\sin \varphi}{\rho} - \gamma^2 \cos \varphi) d\rho \quad (2.2.8)$$

2.21 Modelo Para La Variación De La Permitividad $\epsilon(\rho)$

Nos falta además decir de qué forma puede variarse la permitividad. Como no conocemos de que forma exactamente varía la densidad electrónica debemos valernos de nuestro sentido físico para obtener un modelo que sea lo más adecuado posible.

Hasta el momento tenemos dos restricciones que podemos utilizar. La primera es que la permitividad no debe variar bruscamente y la segunda es que esta debe ser lo más grande posible para que sea mejor la aproximación $\gamma^{-2} D_p \ln(\epsilon) \approx 0$.

Si bien no podemos hallar la variación de la permitividad punto a punto, por lo menos si podemos conocer los valores de esta en el centro de la cavidad y en las paredes, usando para esto el modelo de permitividad ya mostrado en las ecuaciones (1.2.5) a (1.2.8).

El valor de la concentración electrónica en el centro es aproximadamente $2 \times 10^{18} \text{ m}^{-3}$ y en las paredes de la cavidad debido a la recombinación electrónica podemos tomar a n_- como cero.

Del análisis anterior encontramos dos siguientes valores para la permitividad relativa ϵ/ϵ_0 :

$$\epsilon_{r \text{ min}} = \epsilon_{r \text{ centro}} = 1 - \omega_p^2 / \omega^2 = 1 - n_- e^2 / (m_- \epsilon_0 (8.79646 \times 10^{10})^2) = 0.99178383$$

$$\epsilon_{r \text{ max}} = \epsilon_{r \text{ paredes}} = 1 - \omega_p^2 / \omega^2 = 1 - (0.0) e^2 / (m_- \epsilon_0 (8.79646 \times 10^{10})^2) = 1.0$$

Como podemos ver la permitividad relativa aumenta a medida que la distancia radial crece, y su variación en realidad es muy baja. Como lo habíamos supuesto,

el modelo para la permitividad se va a tomar como un polinomio, el cual quedaría con suficiente aproximación con solo tomar hasta la variable de segundo grado. Esto debido a su suave variación y además que el radio es menor que uno (0.032m) de manera que potencias superiores no afectaran mucho. Sin embargo al tomar la permitividad como una parábola debemos tomar en cuenta que para que la permitividad sea lo mas alta y la derivada la más baja posible como lo pide la segunda restricción ($\gamma^{-2}D_{\rho}\epsilon/\epsilon \approx 0$). Entonces la parábola debiera ser cóncava hacia arriba, pero esto implicaría, que la derivada fuera mayor que la que tiene la recta que une los puntos en la región cercana al centro de la cavidad. Entonces vemos que el otro buen modelo que se adapta a nuestro con junto de restricciones es un modelo lineal para la variación de la permitividad.

De manera que podemos tomar el dos modelos:

Modelo lineal

$$\rightarrow \epsilon_r(\rho) = \epsilon_{\min} + (\epsilon_{\max} - \epsilon_{\min})\rho/R_0,$$

$$\rightarrow \epsilon_r(\rho) = 0.99178383 + 0.256755313\rho. \quad (2.2.9)$$

Modelo parabólico

$$\rightarrow \epsilon_r(\rho) = \epsilon_{\min} + (\epsilon_{\max} - \epsilon_{\min})\rho^2/R_0^2$$

$$\rightarrow \epsilon_r(\rho) = 0.99178383 + 8.02360352\rho^2 \quad (2.2.9a)$$

2.22 Adecuación De Las Fórmulas Para Programar

Con el objeto de mejorar la precisión de nuestros cálculos, evitando trabajar con números que sean muy grandes para reducir los errores de redondeo del cálculo computacional, rescribiremos la ecuación anterior, haciendo para ello primero un arreglo necesario.

$$\varepsilon = \varepsilon_0 \varepsilon_r = \varepsilon_0 \varepsilon_r(\rho), \quad (2.2.10)$$

$$\gamma^2 = \omega^2 \varepsilon \mu_0 - k^2 = \omega^2 \varepsilon_0 \varepsilon_r \mu_0 - k^2 = (\omega/c)^2 \varepsilon_r - k^2 = q^2 \varepsilon_r - k^2,$$

$$\text{donde } q = (\omega/c). \quad (2.2.11)$$

Miremos el orden de magnitud de q , $2\pi \cdot 14 \times 10^9 / 3 \times 10^8 = 3 \times 10^2$ entonces q^2 será del orden de 10^4 , luego nuestras ecuaciones queden así:

$$D_\rho \varphi = -[\sin^2 \varphi + (2\rho)^{-1} (12m + 1) \sin 2\varphi + (q^2 \varepsilon_r - k^2) \cos^2 \varphi], \quad (2.2.12)$$

$$\varphi(\delta) = -\arctan([2(6m + 1) - \gamma_0^2 \delta^2 / 2]^{-1} \gamma_0^2 \delta), \quad (2.2.5)$$

$$\varphi(R_0) = -\arctan([e + b 6m(R_0)^{-1}] b^{-1}) - p\pi, \quad p \in \mathbb{N}, \quad (2.2.6)$$

$$\varepsilon_r(\rho) = \varepsilon_{\min} + (\varepsilon_{\max} - \varepsilon_{\min}) \rho / R_0, \quad (2.2.9)$$

$$q = (\omega/c) \quad (2.2.11)$$

Donde se usó el modelo lineal de la permitividad, estas ecuaciones forman un problema de contorno con (2.2.5), tomándose como la condición inicial, vemos sin embargo que este sistema solo depende del valor que tomemos de q . Entonces este se busca de manera que también cumpla la condición (2.2.6) lo que determina la ecuación trascendente para las frecuencias propias en que se puede excitar nuestra cavidad.

CAPÍTULO 3

INTERVALOS DE APLICABILIDAD PARA LAS VARIABLES INVOLUCRADAS

3.1 Ancho De Banda y Absorción De La Onda

Las cavidades resonantes tienen frecuencias discretas de oscilación cada una con una definida configuración de campo denominado modo. En nuestro tratamiento de la deducción de las ecuaciones nosotros asumimos que las paredes de la cavidad eran conductores perfectos. En este caso no existe flujo de potencia en las paredes y no hay pérdidas en la cavidad. Nosotros vamos a considerar el caso donde hay un buen conductor pero sin conductividad perfecta en las paredes. Un tratamiento exacto de este problema es posible en casos especiales, pero es difícil.

Cuando tratamos este tipo de condiciones de frontera, encontramos que no podemos trabajar con un solo modo ya sea TM o TE; nosotros debemos combinar las ondas de estos dos tipos.

Nosotros sabemos que en cavidades resonantes ideales ellas tienen frecuencias discretas de oscilación con una configuración definida de campo. Esto implica que si uno intenta excitar un modo en particular se encuentra que no se propagará ningún campo de esta clase (solo modos evanescentes), a menos que la frecuencia de excitación sea exactamente igual a la frecuencia de resonancia de la misma. Debido a que no conocemos dicha frecuencia para un conductor real, ya que esta se corre debido a la disipación de energía en las paredes de la cavidad y

quizá en el dieléctrico que la llena. Trabajaremos con un ancho de frecuencias alrededor de la frecuencia propia donde una excitación apreciable puede ocurrir. Una forma de medir la respuesta de la cavidad a una excitación externa es el factor de calidad Q , el cual es definido como 2π veces la razón entre la energía almacenada por potencia perdida en un ciclo

$$Q = \omega_0 \frac{\text{energía almacenada}}{\text{potencia perdida}} . \quad (3.1.1)$$

Aquí ω_0 es la frecuencia angular de la excitación para el caso de oscilaciones forzadas o la frecuencia de resonancia asumiendo que no existen pérdidas para una oscilación libre.

Por conservación de la energía tenemos que $U = U_a + U_p$, donde, U_a es la energía almacenada y U_p es la energía perdida.

Derivando con respecto al tiempo tenemos:

$$0 = \frac{dU_a}{dt} + \frac{dU_p}{dt} \quad (3.1.2)$$

$$\frac{dU_a}{dt} = -\frac{dU_p}{dt} = -\frac{\omega_0}{Q} U_a$$

La ecuación anterior tiene una solución exponencial. Esto implica que si una cantidad de energía U_0 es almacenada en la cavidad, esta decae exponencialmente. Lo que significa que la amplitud del campo son amortiguadas de la siguiente manera:

$$E(t) = E_0 \exp\left(-\frac{\omega_0}{2Q}t\right) \exp(-i(\omega_0 + \Delta\omega)t) \quad (3.1.3)$$

Donde hemos permitido un corrimiento en la frecuencia de resonancia. Una oscilación amortiguada de este tipo no tiene una frecuencia pura, sino superposición de frecuencias alrededor de ω_0 , $\omega = \omega_0 \pm \Delta\omega$, de manera que podemos superponer el campo en un continuo de frecuencias, ya que la función no es periódica

$$E(t) = \frac{1}{\sqrt{2\pi}} \int_0^{\infty} E(\omega) \exp(-\omega t) d\omega \quad (3.1.4)$$

donde

$$E(\omega) = \frac{1}{\sqrt{2\pi}} \int_{-\infty}^{+\infty} E_0 \exp\left(-\frac{\omega_0}{2Q}t\right) \exp(-i(\omega - \omega_0 - \Delta\omega)t) dt . \quad (3.1.5)$$

La integral de la ecuación (3.1.5) es elemental y nos permite hallar la distribución energética en la cavidad.

$$E^2(\omega) = \frac{E_0^2 / 2\pi}{(\omega_0 / 2Q)^2 + (\omega - \omega_0 - \Delta\omega)^2} \quad (3.1.6)$$

La curva de resonancia es mostrada abajo, en la cual el ancho total de la línea de resonante Γ , es igual a ω_0/Q . Para una entrada constante de voltaje, la energía de oscilación en la cavidad como una función de la frecuencia, seguirá la curva de resonancia en la vecindad de la frecuencia resonante particular.

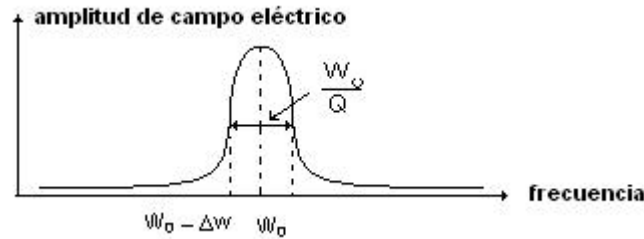


Figura 3.1.1

El valor del factor de calidad común para cavidades resonantes con microondas es de cientos o miles. Entonces se ve que el ancho de banda es

$$\Delta\omega = \omega_0 / (2Q). \quad (3.1.7)$$

Ahora como vemos de la ecuación (3.1.6), el coeficiente de absorción $A(\omega)$, se puede hallar de esta.

$$A(\omega) = \frac{E_0 / \sqrt{2\pi}}{\sqrt{(\omega_0 / 2Q)^2 + (\omega - \omega_0 - \Delta\omega)^2}}.$$

Para calcular el ancho de banda es mejor tomar a Q en valores pequeños (cientos), aunque consideramos las paredes de la cavidad como construidas de un buen conductor para ampliar nuestro ancho de banda ya que el hecho de que el número angular varíe solo en múltiplos de 6 lo que limita en buena medida el número de modos posibles, por tanto tomamos el factor de calidad Q , como 100

De la fórmula (3.1.7) obtenemos para el ancho de banda de resonancia:

$$\Delta\omega = 2 \pi 14\text{GHz} / (200) = 4.39823 \times 10^8 .$$

3.2 Rango De Los Valores Propios Axial ,Radial Y Angular

Para hallar un rango aproximado en el cual podamos trabajar, tomamos el caso de una cavidad conductora ideal, llena de un medio homogéneo e isótropo de permitividad igual al promedio de la misma en nuestro caso. Pero es mejor trabajar con el rango en el que varía el valor propio q^2 , así calculemos el valor central y su ancho de banda Δq :

$$q_0 = \omega_0/c = 294 \text{ [m}^{-1}\text{]}$$

$$\Delta q = \Delta\omega/c = 4.39823 \times 10^9 / 3 \times 10^8 = 1.4661$$

3.21 Análisis Del Intervalo De Los Números Discretos Para El Caso

Transversal Magnético

Lo que se plantea para limitar la cantidad de números discretos, es comparar con las funciones de Bessel que resultarían si la permitividad fuera constante, y para hallar el rango utilizamos los valores extremos, máximo y mínimo, pues las frecuencias propias están limitadas dentro de este intervalo.

Tomamos primero el caso transversal magnético por ser más fácil de analizar ya que en el transversal eléctrico tendríamos que trabajar no con las funciones de Bessel, sino con sus derivadas.

Tenemos $\omega/c = q = \langle \epsilon_r \rangle^{-1/2} [(X_{6mp}/R)^2 + (\pi n/l)]^{1/2}$, donde p es la p-ésima raíz de la función de Bessel y $\langle \epsilon_r \rangle$ es el valor más adecuado de la permitividad en

la cavidad (que puede ser el mínimo o el máximo según el valor límite que nos interese buscar).

Determinemos el intervalo para el cual q puede variar

$$292.534 < \epsilon_r^{-1/2} [(X_{6mp}/R)^2 + (\pi n/l)^2]^{1/2} < 295.466,$$

donde $l = 0.24\text{m}$ y $R = 0.032\text{m}$

Esto ya nos da una idea sobre la cantidad de números discretos angulares que debemos utilizar. Puesto que hay un teorema acerca de las funciones de Bessel que dice: entre cualquier dos ceros consecutivos de $J_k(x)$ existe uno y solo un cero de $J_{k+1}(x)$, esto quiere decir que a medida que k va aumentando, la primera raíz no trivial de la función k -ésima también lo hace. Gracias a esto podemos garantizar que si una función de Bessel de orden j con su primera raíz por encima de $X_{mp_máximo}$, las demás funciones de ordenes superiores tampoco tendrán ninguna raíz y por supuesto $j-1$, será la cota superior para m . Valiéndonos de este teorema podemos hallar el rango de valores para estos números discretos.

Entonces podemos hallar el valor máximo de X_{6mp} si tomamos $n=0$, y $\epsilon_r = 1.0$, con el cual podemos hallar la cota superior para el número discreto m :

$$X_{6mp \text{ máximo}} < [87300.2162]^{1/2} R = 9.455$$

Este valor corresponde a la función de Bessel de orden 5, esto significa que el máximo valor de m es cero. Entonces nuestro problema solo admite modos con número discreto azimutal cero. Para hallar el máximo o mínimo valor de n hay que tomar en cuenta que este depende del valor de la raíz de las funciones de Bessel, que se esté considerando.

Si tomamos la mínima raíz de dicha función podemos hallar el rango de n para este modo, si $X_{00} = 2.405$, entonces:

$$R[87300.2162 - (\pi n_{\max}/l)^2]^{1/2} = 2.405 \rightarrow n_{\max}=22,$$

$$R[85576.1 \times 0.99178383 - (\pi n_{\min}/l)^2]^{1/2} = 2.405 \rightarrow n_{\min}=21,$$

$$n \in [21 ; 22].$$

Pero si ahora tomamos la segunda raíz de la función de Bessel de orden cero y haciendo los cálculos anteriores obtenemos un nuevo intervalo:

$$\text{segunda raíz} = 5.5201 \rightarrow n \in [17 ; 18],$$

$$\text{tercera raíz} = 8.6537 \rightarrow n \in [8 ; 9].$$

Cuarta raíz = 11.7915, la cual ya excede los límites de nuestro ancho de banda, así que ya tenemos cuantificado los tres número discretos puesto que el número de los ceros de la función de orden cero de Bessel es representado por el número discreto radial p

3.22 Análisis Del Intervalo De Los Números Discretos Para El Caso

Transversal Eléctrico

El caso transversal eléctrico posee una forma diferente para la ecuación trascendente ya que en este caso trabajamos no con las funciones de Bessel sino con sus derivadas

$$\omega/c = q = \langle \epsilon_r \rangle^{-1/2} [(X'_{6mp}/R)^2 + (\pi n/l)]^{1/2},$$

donde p es la p-ésima raíz de la derivada de la función de Bessel y $\langle \epsilon_r \rangle$ es el valor más adecuado de la permitividad en la cavidad el cual dependerá del valor límite que se desee hallar. Determinemos el intervalo para el cual q puede variar

$$292.53393 < \epsilon_r <^{-1/2} [(X'_{6mp}/R)^2 + (\pi n/l)^2]^{1/2} < 295.4661.$$

Entonces hallamos el intervalo tomando dos valores extremos cuando $n=1$, lo que nos da el máximo valor para X_{6mp} de lo cual deduciremos el máximo valor para m .

Entonces usando un procedimiento similar al anterior, encontramos:

$$\rightarrow X'_{6mp \text{ máximo}} = [87300.2162 - (\pi/l)^2]^{1/2} R = 9.445632, l = 0.24 \text{ y } R = 0.032.$$

Este valor corresponde a la derivada de la función de Bessel de orden 8. Esto ya nos da una idea de la cantidad de números discretos angulares que debemos utilizar y procedemos de la misma forma que el análisis anterior. Entonces el rango de m para este modo será: $m \in [0 ; 1]$.

Nuestro problema solo admite modos con número azimutal cero o uno para hallar el máximo o mínimo valor de n hay que tomar en cuenta que este depende del valor de la raíz de las funciones de Bessel, que se considere. Si tomamos la mínima raíz de dicha función podemos hallar el máximo valor de n para este modo $X'_{01} = 3.8317 \rightarrow n \in [20 ; 20]$.

Pero si ahora tomamos la segunda raíz de la función de Bessel de orden cero y haciendo los cálculos anteriores obtenemos un nuevo intervalo:

$$\text{segunda raíz} = 7.01559, X'_{02} = 7.01559 \rightarrow n \in [14 ; 15],$$

tercera raíz = 10.1734, $X'_{03} = 10.1734$, la cual ya excede los límites de nuestro

ancho de banda $X'_{61} = 7.50127 \rightarrow n \in [13 ; 13]$, $X'_{62} = 11.73494$ la cual ya excede los límites de nuestro ancho de banda.

CAPÍTULO 4.

RESULTADOS NUMÉRICOS

4.1 Cálculo De Las Frecuencias Propias

Para el cálculo de las frecuencias propias se utilizó un algoritmo en Fortran el cual se anexa al final de este documento. Los resultados obtenidos fueron los siguientes:

FRECUENCIAS PROPIAS PARA EL MODO TRANSVERSAL MAGNÉTICO

Modelo de permitividad empleado	q^2 donde $q^2 = (\omega/c)^2$ [m ⁻²]	# Radial (p)	# axial (n)	# azimutal (m)	Coefficiente de absorción [10 ⁻¹⁰ E ₀ seg] (A(ω))
Lineal	85,638.367	1	18	0	5.2917238
Parabólico	85,759.0289	1	18	0	5.66184287

Frecuencias propias para el modo transversal eléctrico no se encuentran pues este cae fuera de nuestro ancho de banda. Lo que quiere decir que solo un modo que se propagan en nuestra cavidad. Para simular este utilizaremos el método de líneas de campo, en la sección transversal, y longitudinal si es posible, para ver como se comportan dichas componentes en su variación.

Un corte transversal y longitudinal se ilustra en la siguiente figura. Para diferenciar el tipo de modelo de permitividad utilizaremos el superíndice l o p (lineal o parabólico, respectivamente).

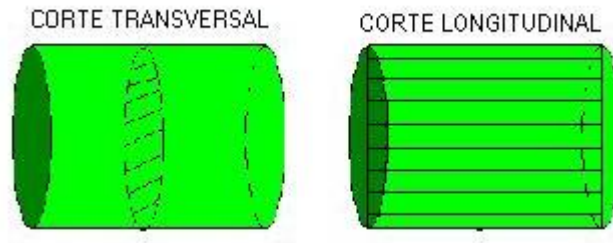


Figura 4.1.1

$$E_z^{(l)} = 5.29162 \times 10^{-10} E_{z \ 1-18-0}^{(l)},$$

$$E_z^{(p)} = 5.66173207 \times 10^{-10} E_{z \ 1-18-0}^{(p)}.$$

Proseguimos desglosando esta ecuación hasta llegar a las ecuaciones de barrido trigonométrico, quitaremos por ahora los superíndices, para no escribir doblemente lo mismo

$$E_{z \ 1-18-0} = F_{1-18-0}(\rho, \theta) \cos(kz), \quad k = k_n = n \pi l^{-1},$$

$$E_{z \ 1-18-0} = A_{1-18-0}(\rho) \cos[\phi_{1-18-0}(\rho)] \cos(18\pi z / l).$$

Ahora mostramos la forma del campo electromagnético transversal

$$\mathbf{B}_{t \ 1-18-0} = \gamma^{-2} i \omega \epsilon \mu_0 \cos(18\pi z / l) A_{1-18-0}(\rho) \text{sen}[\phi_{1-18-0}(\rho)] \boldsymbol{\theta},$$

$$\mathbf{E}_{t \ 1-18-0} = -18\pi \text{sen}(18\pi z / l) \boldsymbol{\rho} A_{1-18-0}(\rho) \text{sen}[\phi_{1-18-0}(\rho)] / [\gamma^2 l]$$

4.2 Análisis Cualitativo Del Proceso De Simulación

Análisis General

Para simular el presente campo se utilizará el método de líneas de fuerza, el cual ilustra el mismo por medio de las curvas las cuales llevan la dirección (el campo es tangente a la línea) y cuya densidad (es decir, la concentración de líneas de

campo en determinada zona) es directamente proporcional a la intensidad del mismo.

4.2.1 Dirección De Líneas

Como se va a graficar en un plano tomemos por ejemplo que sea el xy, esto se hace por simplicidad, notando que eso no quita generalidad. Entonces para cumplir que las líneas de campo tengan la dirección del mismo se grafica segmento a segmento dándole pendiente (M) que sea igual a la relación entre componente Y sobre componente X del campo, $M = E_y / E_x$

Si se define el arco como la longitud de cada segmento (Δ), este debe tener la pendiente M. El siguiente punto a graficar lo determina el punto donde termina el segmento anterior.

$$X_i = X_{i-1} + \Delta \left(\frac{E_x}{E_y^2 + E_x^2} \right)$$

$$Y_i = Y_{i-1} + \Delta \left(\frac{E_y}{E_y^2 + E_x^2} \right)$$

4.2.2 Densidad De Líneas

El campo se va a graficar en el régimen estacionario, dándose un dibujo en un instante del tiempo determinado. Para ese instante el campo es estático lo que hace que el flujo de líneas se conserve ya que nuestra cavidad no tiene fuentes internas. Gracias a esto lo que se tiene planeado es barrer la cavidad por toda su frontera distribuyendo la densidad de líneas de acuerdo a la magnitud de campo presente en dicha región.

Las líneas de fuerza en regiones de mayor intensidad, por el hecho de ser continuas, llegan hasta regiones de menor intensidad agrupándose más, pero con una menor amplitud de campo. Esto haría que la densidad de líneas no representa la intensidad del campo, tan solo la dirección. Si se presentara este caso habría que anexarse una gráfica donde se muestra como varía la amplitud sobre dicha zona.

4.3 Líneas De Fuerza En Un Corte Transversal

Campo Eléctrico: Análisis de la densidad de líneas

Aunque vamos a trabajar la simulación en coordenadas cartesianas como en este caso la frontera es circular, permitamos continuar con las coordenadas polares

$$|E_t| = 18\pi \sin(18\pi z/l) A_{1-18-0}(\rho) \sin[\phi_{1-18-0}(\rho)] / [\gamma^2 l]$$

Como observamos en la frontera la magnitud no cambia lo que hace que la concentración de líneas sea uniforme. Además podemos apreciar que el campo transversal eléctrico es radial.

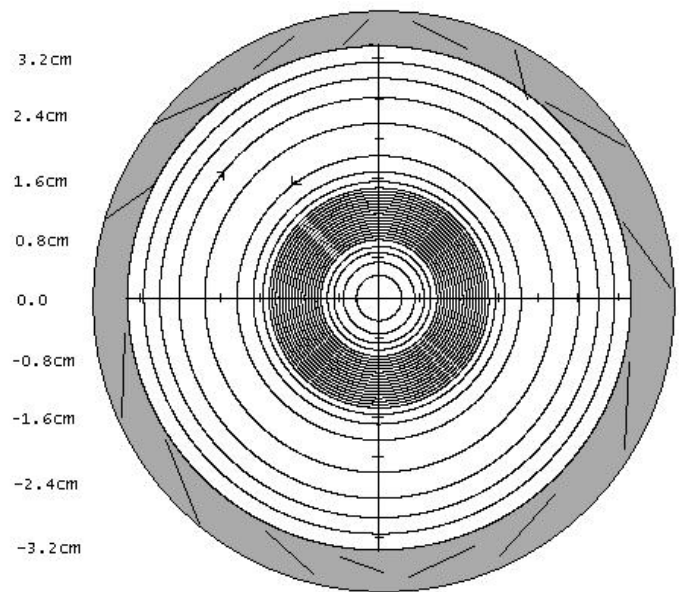
4.3.1 Campo Transversal Magnético

Trabajaremos de manera similar como con el campo eléctrico transversal

$$|B_t| = |B_{t1-18-0}| = |\gamma^{-2} \omega \epsilon \mu_0 \cos(18\pi z/l) A_{1-18-0}(\rho) \sin[\phi_{1-18-0}(\rho)]|$$

Como observamos en la frontera la magnitud no cambia lo que hace que la concentración de líneas sea uniforme. Sin embargo, vemos que el campo transversal magnético resulta ser azimutal. Además este campo es más intenso que el eléctrico pues está multiplicado por la frecuencia.

A continuación mostramos líneas de campo magnético para cortes hechos en diferentes puntos sobre el eje de la cavidad, donde la máxima amplitud es: $2.75174E_0 \times 10^{-9} [\text{Tesla}]$.



LINEAS DE FUERZA MAGNÉTICAS CON $Z=0.0\text{cm}$

Figura 4.3.1.

Como podemos apreciar el campo magnético no es homogéneo siendo más fuerte en una zona media decayendo hacia los bordes y en el centro de la cavidad.

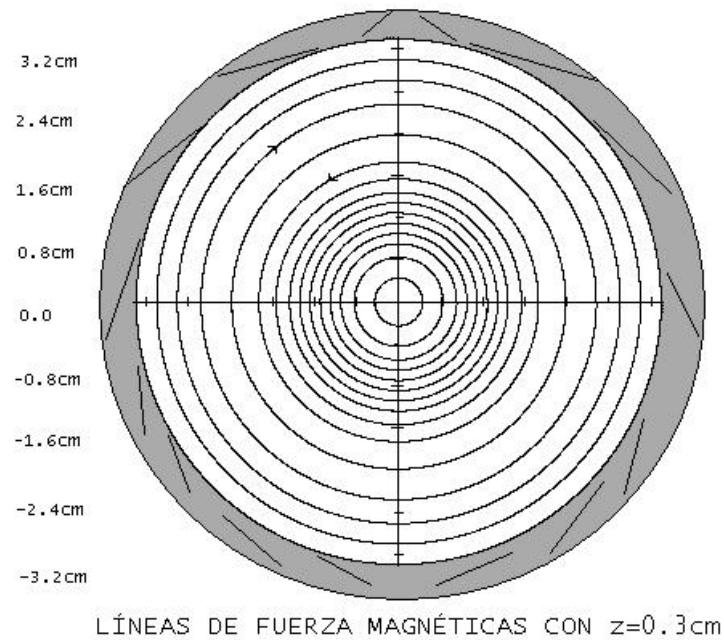


Figura 4.3.2

A medida que nos movemos sobre el eje de la cavidad 'Z' la intensidad del campo alterna cosenoidalmente con un periodo de 2.6cm .

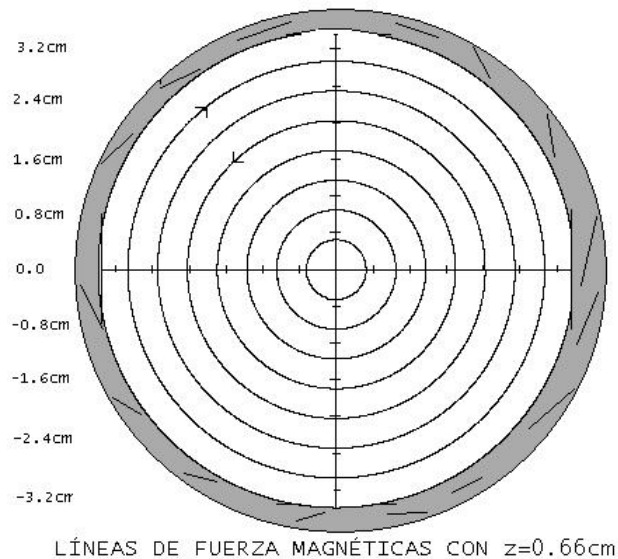


Figura 4.3.3

A manera de ilustración vamos a ver varios cortes, en un dibujo que trata de mostrar tridimensionalmente como se comporta el campo magnético.

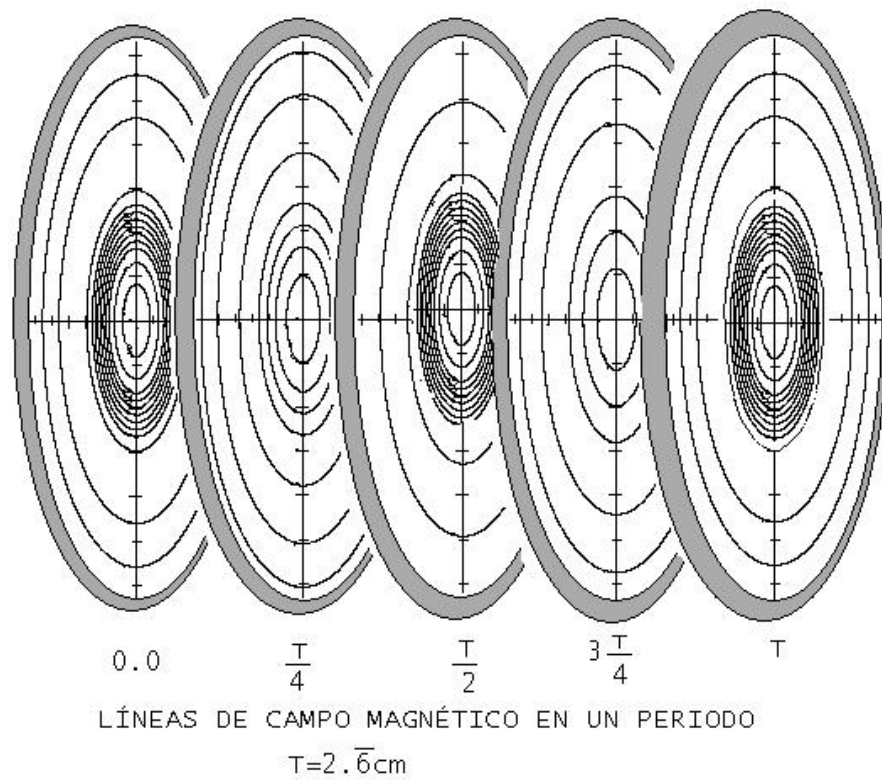


Figura 4.3.4

4.3.2 Líneas de Fuerza Longitudinales

Gracias a que el campo transversal eléctrico resultó ser radial, podemos simular el campo eléctrico total en un corte longitudinal (ver figura 4.1.1) pues el se encuentra en este plano. A continuación mostramos líneas del campo eléctrico donde la máxima amplitud del campo es: $5.50167E_0 \times 10^{-8} [\text{V/m}]$,

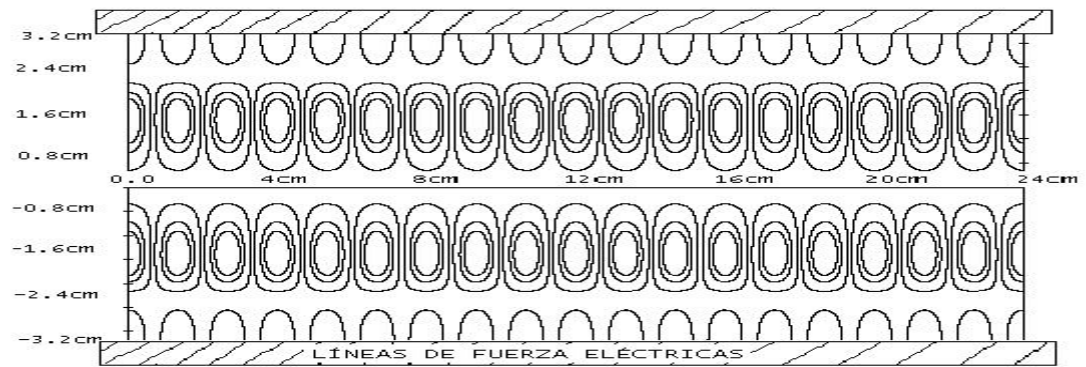


Figura 4.3.5

Como se puede apreciar las líneas de campo son periódicas, entonces haremos un corte de una región de la cavidad donde tenga un periodo con el objetivo de verlas de manera más clara.

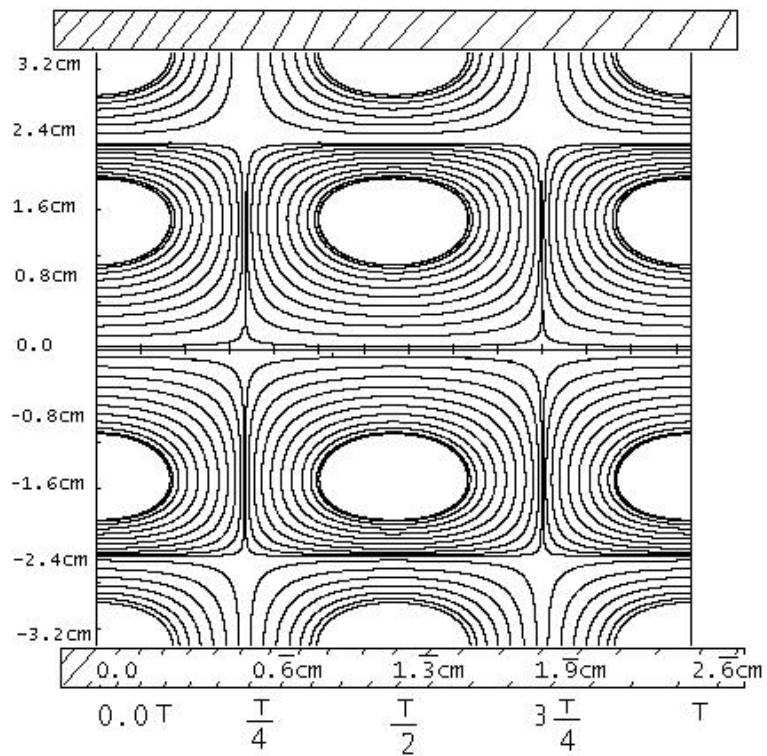


Figura 4.3.6

Como vemos en la figura la densidad de líneas es mayor en la región cercana a 2.4cm del radio pero en esta parte, el campo no es tan intenso, presentándose la dificultad que habíamos expuesto en la sección 4.2.2 por lo que a continuación mostramos la grafica de intensidades de campo sobre un periodo.

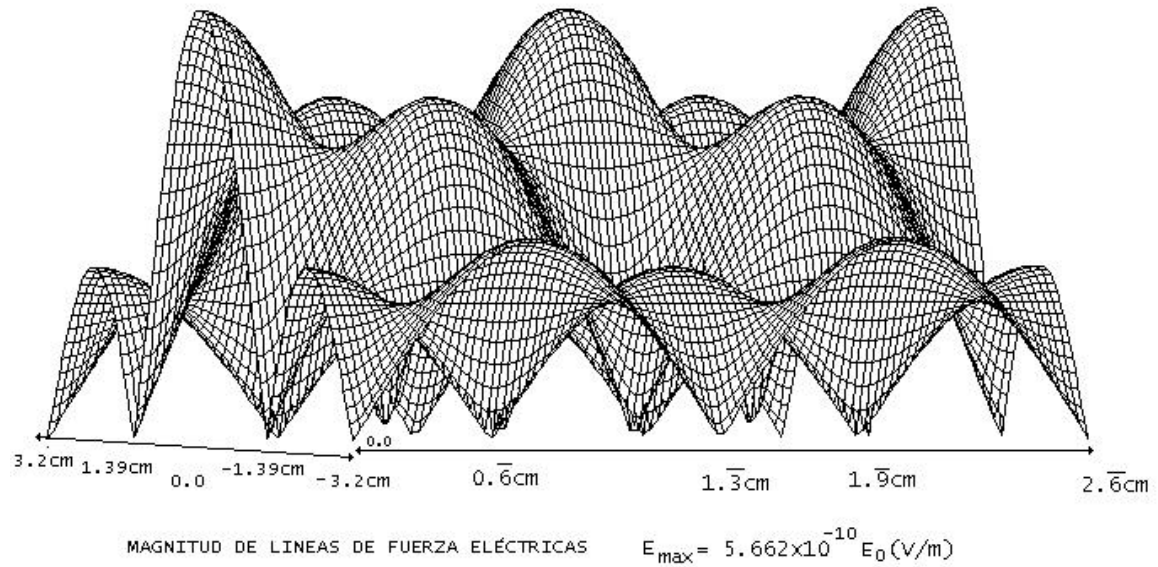


Figura 4.3.7

De la figura se aprecia que el campo eléctrico es más fuerte en el centro y decae hacia las paredes de la cavidad.

CAPÍTULO 5

OBSERVACIONES Y CONCLUSIONES

5.1 Régimen Multimodo

Es interesante ver como las dimensiones del sistema pueden afectar la forma como los campos se propagan. Puesto que el valor del radio es pequeño en comparación con la longitud de la cavidad, muy pocas raíces de las funciones de Bessel pudieron entrar dentro del rango de los posibles valores que se podían tomar, este fue un hecho que redujo considerablemente el número de modos que se podían propagarse.

Otro aspecto influyente es el hecho de que la densidad electrónica tuviera una dependencia angular que habitualmente no se toma en consideración en la expresión de la permitividad del plasma para no complicar el problema (el sistema de ecuaciones en derivadas parciales no se podría desacoplar en los dos modos usuales, E-onda y B-onda). Sin embargo las soluciones para nuestro problema deberían tener también la misma simetría, con una periodicidad de 60° , esto redujo aún más la cantidad de modos posibles. La suma de estas dos condiciones finalmente, hizo que pasáramos, de un régimen multimodo a monomodo.

Al observar los resultados anteriores podemos darnos cuenta que el hecho de que el medio fuera considerado inhomogéneo, pareciera que limita el número de modos de manera drástica, sin embargo en el espacio vacío y sin las restricciones de simetría angular y con una permitividad eléctrica constante, es decir sin las condiciones de anisotropía e inhomogeneidad, tampoco se presenta un régimen

multimodo, además las graficas de campo son prácticamente las mismas, obviamente la amplitud de campo se reduce un poco y el valor de la frecuencia hallado sufre un corrimiento pasa de 13.972GHz para nuestro cálculo inicial, a 13.9427GHz, lo cual muestra que la aproximación de permitividad constante es buena. Además no debemos pasar por alto el hecho que para el caso de vacío las ecuaciones ya son auto adjuntas.

5.2 Intensidad Del Campo

El campo eléctrico es mayor en el centro, esto se explica debido a que en esa región la permitividad eléctrica es menor que 1.0, además vemos que el campo eléctrico es bastante complejo en el sentido de que hay líneas circulares que se repiten 18 veces, es necesario tomar en consideración esta configuración de campo para alcanzar la efectividad máxima de absorción de microondas. La configuración del campo magnético encontrada, garantiza que la superficie resonante pasa parcialmente por máximos del campo de microondas, la cual es necesaria para el calentamiento del plasma. Esta configuración de campo magnético, es consecuencia de la dependencia de este, con la derivada con respecto al radio de la componente de campo longitudinal, ubicando su región de máxima intensidad en una zona media donde es mayor la razón de cambio del campo eléctrico longitudinal. Para el caso de el espacio vacío la energía no se concentraría tanto como en nuestros resultados si no mas bien sería mas homogénea.

Como podemos ver hemos encontrado unos resultados, que consideramos serán de utilidad para el eventual estudio de fenómenos dentro de la cavidad.

ANEXOS

A. Ecuación de De Langevin

La ecuación de De Langevin es una forma simple de la ecuación de movimiento, o ecuación de momento, para los electrones de un gas débilmente ionizados.

Continuemos con plasmas en los cuales la densidad electrónica y de iones es considerablemente menor que la densidad numérica de las partículas neutras. Solo los electrones que conforman la mezcla de gases participan en los fenómenos de interés.

El movimiento electrónico es modificado por la colisión con partículas neutras las cuales se asumen que tienen masa infinita. Las interacciones con los iones positivos, tanto como las interacciones electrón-electrón no se consideran importantes. Estas condiciones describen el modelo del plasma conocido como gas de Lorentz. Para este modelo de plasma determinaremos la conocida ecuación de movimiento para un solo electrón en un campo eléctrico y magnético.

$$m_e \dot{\vec{v}} = q_e (\vec{E} + \vec{v} \times \vec{B}) \quad (1.1.1)$$

Esta puede ser modificada para incluir el efecto de las colisiones sobre el movimiento promedio del electrón. El lado izquierdo de la ecuación (1.1.1) representa la tasa de cambio de momento electrónico y es igual a la fuerza total que actúa sobre el electrón, el cual es dado por la parte derecha de la misma. Una

colisión entre electrones y partículas neutras pesadas cambiará en promedio solamente el momento del electrón en la dirección de su velocidad inicial, asumiendo que la partícula neutral es infinitamente masiva, entonces el cambio de momento en la dirección inicial es

$$\Delta(m\vec{v}) = m\vec{v}(1 - \cos\chi) \quad , \quad (1.1.2)$$

donde χ representa el ángulo de dispersión

Si nosotros promediamos sobre todos los ángulos de dispersión posibles usando la distribución angular dada para el modelo de esferas rígidas encontramos que:

$$\langle \Delta(m\vec{v}) \rangle = m\vec{v} \langle (1 - \cos\chi) \rangle = m\vec{v} \quad (1.1.3)$$

Por tanto, sobre el promedio, el cambio de momento en cada colisión es igual al momento inicial. Desde que la rata promedio en el cual ocurren las colisiones es simplemente la frecuencia de colisión ν entonces la rata promedio de cambio de momento esta dada por $m\nu\vec{v}$. Este término debería ser adicionado al lado izquierdo de la ecuación (1.1.1) para generalizar más allá el modelo de esfera rígida, podemos adicionar el término como $m\nu_{en}\vec{v}$, donde ν_{en} es la frecuencia de colisión efectiva para transferencia de momento entre electrones y partículas neutras. Obteniendo una ecuación para el movimiento promedio de los electrones de la forma:

$$m\dot{\vec{v}} + m\nu_{en}\vec{v} = q(\vec{E} + \vec{v} \times \vec{B}) . \quad (1.1.4)$$

Esta ecuación es conocida como la ecuación de Langevin y es a menudo usada en conjunción con las ecuaciones de Maxwell para describir la dinámica de plasmas. Esta ecuación tiene la ventaja de ser simple lo que facilita su utilidad.

B. Planteamiento General del Problema

Empecemos primero encontrando el campo transversal magnético, para cada uno de los dos modos en los que podemos descomponer el campo, primero tomamos una E-onda

$$\vec{E}_t = \gamma^{-2} (\partial_z \nabla_t E_z - i\omega \hat{z} \times \nabla_t B_z)$$

$$\rightarrow E_{zmrn} = U_{mrn}(\rho) \rho^{6m} e^{i6m\theta} \cos(kz)$$

$$\partial_\theta e^{i6m\theta} = i6m e^{i6m\theta}$$

$$\rightarrow \text{Si ponemos } e^{i6m\theta} \rightarrow \sin(6m\theta) \text{ con el objetivo de no trabajar con complejos}$$

$$\rightarrow \partial_\theta e^{i6m\theta} \rightarrow 6m \cos(6m\theta)$$

$$\rightarrow E_{zmrn} = U_{mrn}(\rho) \rho^{6m} \sin(6m\theta) \cos(kz)$$

$$B_{\theta mrn} = \gamma^{-2} i\omega \epsilon \mu_0 \sin(6m\theta) \cos(k_n z) A_{mrn}(\rho) (6m \rho^{6m-1} \cos[\varphi_{mrn}(\rho)] + \rho^{6m} \sin[\varphi_{mrn}(\rho)])$$

$$B_{\rho mrn} = -\gamma^{-2} i\omega \epsilon \mu_0 A_{mrn}(\rho) \cos[\varphi_{mrn}(\rho)] \rho^{6m-1} \cos(k_n z) 6m \cos(6m\theta)$$

Como podemos ver las componentes de campo magnético están desfasadas con respecto al tiempo $\pi/2$, con el campo longitudinal.

Prosigamos con las componentes de campo transversal pero esta vez para el caso del campo eléctrico

$$E_{\rho m r n} = -\gamma^{-2} k_n \text{sen}(k_n z) \text{sen}(6m\theta) A_{m r n}(\rho) (6m \rho^{6m-1} \cos[\varphi_{m r n}(\rho)] + \rho^{6m} \text{sen}[\varphi_{m r n}(\rho)])$$

$$E_{\theta m r n} = -\gamma^{-2} k_n \text{sen}(k_n z) A_{m r n}(\rho) \cos[\varphi_{m r n}(\rho)] \rho^{6m-1} 6m \cos(6m\theta)$$

Como vemos las componentes de campo eléctrico transversal se encuentran en fase con el campo eléctrico longitudinal con respecto al tiempo, pero en desfase de $\pi/2$ con respecto a Z con las componentes de campo magnético.

Proseguimos con las componentes de campo para una B-onda

$$\mathbf{B}_t = \gamma^{-2} \partial_z \nabla_t B_z$$

$$\mathbf{E}_t = -\gamma^{-2} i\omega \hat{\mathbf{z}} \times \nabla_t B_z$$

$$\rightarrow B_{z m r n} = U(\rho) \rho^{6m} e^{i6m\theta} \text{sen}(k_n z)$$

$$\rightarrow B_{z m r n} = U_{m r n}(\rho) \rho^{6m} \text{sen}(6m\theta) \text{sen}(k_n z)$$

$$\mathbf{B}_{t m r n} = \gamma^{-2} \partial_z (\rho \partial_\rho + \theta \rho^{-1} \partial_\theta) U_{m r n}(\rho) \rho^{6m} \sin(6m\theta) \sin(k_n z)$$

$$B_{\rho m r n} = \gamma^{-2} k_n \cos(k_n z) \sin(6m\theta) A_{m r n}(\rho) (6m \rho^{6m-1} \cos[\varphi_{m r n}(\rho)] + \rho^{6m} \sin[\varphi_{m r n}(\rho)])$$

$$B_{\theta m r n} = \gamma^{-2} k_n \cos(k_n z) A_{m r n}(\rho) \cos[\varphi_{m r n}(\rho)] \rho^{6m-1} 6m \cos(6m\theta)$$

Continuemos con el campo transversal eléctrico.

$$\mathbf{E}_{t m r n} = -\gamma^{-2} i \omega \hat{\mathbf{z}} \times \nabla_t B_{z m r n}$$

$$B_{z m r n} = U_{m r n}(\rho) \rho^{6m} \sin(6m\theta) \sin(k_n z)$$

$$E_{\theta m r n} = -\gamma^{-2} i \omega \sin(k_n z) (\sin(6m\theta) A_{m r n}(\rho) (6m \rho^{6m-1} \cos[\varphi_{m r n}(\rho)] + \rho^{6m} \sin[\varphi_{m r n}(\rho)])$$

$$E_{\rho m r n} = \gamma^{-2} i \omega \sin(k_n z) A_{m r n}(\rho) \cos[\varphi_{m r n}(\rho)] \rho^{6m-1} 6m \cos(6m\theta)$$

ahora solo basta sumar cada campo con su respectivo coeficiente de absorción y de esta manera obtener el campo total, para visualizar el campo nosotros propusimos graficar los campo azimutales en su respectivo corte y las componentes radiales y longitudinales en un corte longitudinal, es decir se necesitan cuatro gráficas par mostrar el campo total en un punto.

C. Programa Hecho para Resolver el Problema General

```

$debug
c PROGRAMA QUE ENCUENTRA LOS VECTORES CON LOS NÚMEROS DISCRETOS EN LOS
c CUALES SE ESPERA ENCONTRAR UNA RAIZ PARA UNA E-ONDA
c -----
      parameter(mfid=10,krd=10,nraiz=100)
      parameter(ndim=501,modim=14,mod2=28)
c parametro que determina numero de modos de la malla para R-K
      parameter(np=10000)
      implicit real*8(a-h,o-z)
c y sus respectivos nfmeros discretos
c ndim es el numero de datos muestreados
c modim es el m ximo nfmero de modos con los cuales se piensa trabajar,
c para cada modo, mod2= 2*mod2
c vector con las frecuencias propias encontradas to E-onda
c y sus respectivos nfmeros discretos
      common/e_onda/ qcv(modim),mfiv(modim),zlonv(modim)
c vector con las frecuencias propias encontradas to B-onda
c y sus respectivos nfmeros discretos
      common/B_onda/ qcvb(modim),mfivb(modim),zlonvb(modim)
      common/radial/radE(ndim,mod2),radB(ndim,mod2)
      common /cavidad/flon,R0,qmn,qmx,e1,e2,ns
      common /ecua_dif/delta,pi,h
      open(2,file='radiE.res')
      open(3,file='radiB.res')
c      write(*,*)'intro values next to parameter show or lest'
c      write(*,*)'plese intro de values to followin parameters'
c      write(*,*)'intro angular frecuency 88.0d9/s but divide in 10d8'
c      read(*,*)w
c      write(*,*)'intro wide band 4.39823d8/s, but divide 10d8'
c      read(*,*)deltaw
      write(*,*)'intro value mimimum of permittivity 0.99178383'
      read(*,*)e1
      write(*,*)'intro value maximun of permittivity 1.0'
      read(*,*)e2
c      write(*,*)'intro cavity radii 0.032m'
c      read(*,*)R0
c      write(*,*)'intro cavity long, 0.24m'
c      read(*,*)flon
      pi=4.0*datan(1.0)
      w=pi*28.0d1
      deltaw=4.39823d0
c      deltaw=5.1d0
c value mimimun and maximum of permittivity
c      e1=0.99178383d0
c      e1=1.5d0
c      e2=1.5d0
      R0=0.032d0
      flon=0.24d0
      pi=4.0*datan(1.0)
      delq=deltaw/3.0d0
      q=w/3.0d0
      qmx=q+delq
      qmn=q-delq
c      h=(R0-delta)/(20*(ndim-1))

```

```

        h=(R0-delta)/np
        delta=1.0d-8
c es la posici n en el eje z para graficar
        zazi=1/150
c el es m ximo n mero de l neas a graficar
        linmax=57
c como el campo electrico puede ser muy d bil toca aumentarle la densidad
de
c lineas sumandole la que le corresponde m s unas unas mas
        write(*,*)'intro value additdional of fields lines (50)'
        read(*,*)ladd
c        ladd=50
c dar simetria angular de distribuci n electr nica (numero de orbitales)
c        ns=6
        ns=1
        call discretE(idim,qcv,mfiv,zlonv)
        call dscrtB(idimb,qcvb,mfivb,zlonvb)
        call vmuestreo(idim,qcv,mfiv,zlonv,idimb,qcvb,mfivb,zlonvb,
$        radE,radB)
        write(2,*)'number of modes E-onda',idim
        do j=1,idim
        write(2,*)'----- propie value ---- azimuth --- axial'
        tem=0.24*zlonv(j)/pi
        write(2,*)qcv(j),mfiv(j),tem
        j1=2*j-1
        j2=2*j
        do i=1,ndim
        write(2,*)radE(i,j1),radE(i,j2)
        end do
        end do
        write(3,*)'number of modes B-onda',idimb
c        write(*,*)idimb
        do j=1,idimb
        write(3,*)'----- propie value ---- azimuth -- axial'
        tem=0.24*zlonvb(j)/pi
        write(3,*)qcvb(j),mfivb(j),tem
        j1=2*j-1
        j2=2*j
        do i=1,ndim
        write(3,*)radB(i,j1),radB(i,j2)
        end do
        end do
        call GRAFICFIELD(idim,idimb,zazi,linmax,ladd)
        close(2)
        close(3)
        stop
        end

$debug
c indice: fraize--142 vmuestreo--485 Emuestreo--528
c PROGRAMA LIBREIA QUE ENCUENTRA LOS VECTORES CON LOS N MEROS DISCRETOS
EN LOS
c CUALES SE ESPERA ENCONTRAR UNA RAIZ PARA UNA E-ONDA
c -----
        subroutine discretE(idim,qcv,mfiv,zlonv)

```

```

implicit real*8(a-h,o-z)
parameter(ndim=501,modim=14,mod2=28)
parameter(mfid1=11,krd=10,nbes=110)
dimension nliml(mfid1,krd),nlimr(mfid1,krd),krv(krd)
dimension qcv(modim),mfiv(modim),zlonv(modim)
dimension il(nbes),i2(nbes),x11(nbes)
common /cavidad/flon,R0,qmn,qmx,e1,e2,ns
common /ecua_dif/delta,pi,h
common/bessel/bess(mfid1,krd)
c vector con las frecuencias propias encontradas
c y sus respectivos nmeros discretos
c este archivo tiene 3 datos con el siguiente formato 2x,2i4.3,e14.7
open(1,file='razbes.res',status='old')
do i=1,110
  read(1,*)il(i),i2(i),x11(i)
c 2      formato(2x,2i4.3,e14.7)
end do
nd=1
do i=1,mfid1
  do j=1,krd
    bess(i,j)=x11(nd)
    nd=nd+1
  end do
end do
call interbessel(mfimax,krv,nliml,nlimr)
call FRECUENCIAS(mfimax,krv,nliml,nlimr,idim,qcv,mfiv,zlonv)
return
end
c =====
subroutine interbessel(mfimax,krv,nliml,nlimr)
parameter(mfid1=11,krd=10,nbes=110)
implicit real*8(a-h,o-z)
c el arreglo se llena con los valores de los nmeros discretos en los
c cuales
c se espera que halla una raiz discreto(mfi,kr,nll,nlr) donde
c mfi es el nmero azimutal, kr el radial, nll es la cota izquierda
c de los nmeros longitudinales, mfimax, es el maximo nmero azimutal y
c krv es el vector que indica el maximo nmero radial.
dimension nliml(mfid1,krd),nlimr(mfid1,krd),krv(krd)
common /cavidad/flon,R0,qmn,qmx,e1,e2,ns
common /ecua_dif/delta,pi,h
common/bessel/bess(mfid1,krd)
external n_ordenbessel
x1=dsqrt(e1)
x2=dsqrt(e2)
x3=x2*(qmx)*R0
c n_ordenbessel es una funci3n que da el maximo orden de la
c funci3n de Bessel para un x3 dado
mfimax=n_ordenbessel(x3)
do i=1,mfimax
c      mfi=i-1
      j=0
12      j=j+1
      kr=j-1
c raizbessel es una funci3n que da la raiz de orden kr
c de la funci3n de Bessel de orden mfi
x=bess(i,j)

```

```

      z2=( (qmx*x2)**2-(x/R0)**2 )*(flon/pi)**2
      if(z2.ge.1.01)then
        zt1=(qmn*x1)**2-(x/R0)**2
        zt2=dabs( (qmn*x1)**2-(x/R0)**2 )
        z1=(zt2+zt1)/2.0
        y1=flon*dsqrt( z1 )/pi
        y2=dsqrt( z2 )
        nll=int(y1)
        nlr=int(y2)
        nliml(i,j)=nll
        nlimr(i,j)=nlr
        go to 12
      end if
      krν(i)=kr
    end do
  return
end

C-----
C n_ordenbessel es una funci3n que da el max;mo orden de la
C funci3n de Besell para un x3 dado
C-----
      function n_ordenbessel(x)
      implicit real*8(a-h,o-z)
      common/bessel/bess(11,10)
      j=0
10      j=j+1
      if(bess(j,1).lt.x)go to 10
      n_ordenbessel=j
      return
      end

C-----
C SUBROUTINA QUE ENCUENTRA LAS FRECUENCIAS PROPIAS EN QUE SE EXITA UNA
CAVIDAD
C RESONANTE DE PERMITIVIDAD NO HOMOGENEA PARA E ONDA
C -----
      SUBROUTINE FRECUENCIAS(mfimax,krν,nliml,nlimr,
      $                      idim,qcv,mfiv,zlonv)
      parameter(ndim=501,modim=14,mod2=28)
      parameter(mfid1=11,krd=10,nbes=110)
      implicit real*8 (a-h,o-z)
      dimension nliml(mfid1,krd),nlimr(mfid1,krd),krν(krd)
      dimension qcv(modim),mfiv(modim),zlonv(modim)
      common /cavidad/flon,R0,qmn,qmx,e1,e2,ns
      external fraizE,Raiz11
C nnr n;mero de nodos radiales a buscar
C nl es el numero cuantico axial, mfi es el n;mero cu ntico azimuthal y kr
C es el n-mero cuantico radial
C nfronl(i),nfronr(i), da los intervalos en que
C el n;mero discreto axial puede variar
      pi= 4.0*datan(1.0)
      a=qmn**2
      b=qmx**2
      toler=1.0d-8
      icon=1
      il=(mfimax-1)/ns+1
      do i=1,il
        mfi=(i-1)

```



```

c indice para el vector
    mfiind=(mfi+1)*ns-(ns-1)
    do j=1,krv(i)
        kr=j-1
c raizbessel es una funci n que da la raiz de orden kr
c de la funci n de bessel de orden ns*mfi
        do nl=nlml(mfiind,j),nlmr(mfiind,j)
            xl=fraizE(mfi,kr,nl,a)
            xr=fraizE(mfi,kr,nl,b)
            if(xl*xr .le. 0.0)then
                frecuencia=raiz11(fraizE,mfi,kr,nl,a,b,toler)
                qcv(icon)=frecuencia
                mfiv(icon)=mfi
                zlonv(icon)=nl*pi/flon
                icon=icon+1
            end if
        end do
    end do
    idim=icon-1
    return
end

c-----
    function fraizE(mfi,kr,nl,qc)
c funci n que calcula la fase en la pared de la cavidad en
c funci n de el valor propio qc= omega**2/c**2
    parameter (np=10000)
c    np es el numero de nodos de malla en Runge-Kutta
    implicit real*8 (a-h,o-z)
    common /cavidad/flon,R0,qmn,qmx,e1,e2,ns
    common /ecua_dif/delta,pi,h
    external eps
c fronteras del problema de contorno.... delta < ro < R0
    romin=delta
    romax=R0
    sum=0.0
c Busquemos condiciones iniciales para el angulo
    gam2=eps(romin)*qc-(pi*nL/flon)**2
    x1=2.0d0*(ns*mfi+1.0)
    x2=gam2*romin**2
    tetaleft=-datan(romin*gam2/(x1-x2/2.0))
    roleft=romin
    np2=np/2
    do i=1,np2
        call rk4(tetaleft,gam2,roleft,tetaright,roright)
        rotm=roright
        tetamiddle=tetaright
        gam2t=eps(rotm)*qc-(pi*nL/flon)**2
        call rk4(tetamiddle,gam2,rotm,tetaright,roright)
        tetaleft=tetaright
        roleft=roright
        gam2=eps(roleft)*qc-(pi*nL/flon)**2
    end do
    tetaend=tetaright
    pi2=pi/2.0d0
    frontera=pi2+pi*kr
    fraizE= tetaend+frontera

```

```

        return
    end

c-----
    function eps(ro)
c Describe la variaci3n de la constante dielectrica
c en la direcci3n radial de la cavidad
        implicit real*8 (a-h,o-z)
        common /cavidad/flon,R0,qmn,qmx,e1,e2,ns
        eps=e1+(e2-e1)*(ro/R0)
        return
    end

c-----
    function fun(mfi,gam2,tetal,ro)
c es la parte derecha de la ecuacion diferencial
        implicit real*8 (a-h,o-z)
        common /cavidad/flon,R0,qmn,qmx,e1,e2,ns
        sn=dsin(tetal)
        sn2=sn*sn
        cs2=1.0d0-sn2
        sn2t=dsin(2*tetal)
        fun=-(sn2+(2.0*ns*mfi+1.0)*sn2t/(2*ro)+ gam2*cs2)
        return
    end

c -----
c El subprograma raiz11 busca la soluci3n de la ecuaci3n fun_raiz(x)=0
c dentro del intervalo (a,b) con la precisi3n eps,
c usando el m,todo de bisecci3n
c-----
    function raiz11(funem,mfi,kr,nl,a,b,toler)
        implicit real*8 (a-h,o-z)
        common /cavidad/flon,R0,qmn,qmx,e1,e2,ns
c
c external fraizE
c los parametros del extremo izquierda
        xl=a
        fl=funem(mfi,kr,nl,xl)
c los parametros del extremo derecho
        xr=b
        fr=funem(mfi,kr,nl,xr)
c inicializaci3n del proceso de bisecci3n
10      x=(xl+xr)/2.0d0
c si la distancia entre los extremos es menor que eps
c entonces ya el centro del intervalo x define la raiz
c con la precisi3n sugerida
        if((xr-xl).le. toler) go to 40
c definici3n el valor de la funci3n en el centro del intervalo
        f=funem(mfi,kr,nl,x)
c comparaci3n de los signos de la funci3n en el centro del
c intervalo y en el extremo izquierda
        if(f*fl) 20,40,30
c si signos son diferentes se escoge el subintervalo izquierda
20      xr=x
        fr=f
c volver al siguiente paso del proceso bisecci3n
        go to 10
c si signos son iguales se escoge el subintervalo derecha
30      xl=x
        fl=f

```

```

c volver al siguiente paso del proceso bisección
      go to 10
40      raiz11=x
c salir de subprograma
      return
      end

c-----
c  Procedimiento  que realiiza solo un paso de  Runge-Kutta
c-----
      subroutine Rk4(tetal,gam2,ro,tetar,ror)
      implicit real*8 (a-h,o-z)
      common /ecua_dif/delta,pi,h
      external fun
      ak1=fun(mfi,gam2,tetal,ro)
      h2=h/2.0d0
      rot=ro+h2
      tetat=tetal+ak1*h2
      ak2=fun(mfi,gam2,tetat,rot)
      tetat=tetal+ak2*h2
      ak3=fun(mfi,gam2,tetat,rot)
      rot=ro+h
      tetat=tetal+ak3*h
      ak4=fun(mfi,gam2,tetat,rot)
      ror=rot
      tetar=tetal+h*(ak1+2.0d0*ak2+2.0d0*ak3+ak4)/6.0d0
      return
      end

c=====
c PROGRAMA QUE ENCUENTRA LOS VECTORES CON LOS NÚMEROS DISCRETOS EN LOS
c CUALES SE ESPERA ENCONTRAR UNA RAÍZ PARA UNA E-ONDA
c -----
      subroutine dscrtB(idimb,qcvb,mfivb,zlonvb)
c nraiz=mfid*krd
      parameter(mfid=10,krd=10,nraiz=100)
      parameter(ndim=501,modim=14,mod2=28)
      implicit real*8(a-h,o-z)
      dimension nlimb1(mfid,krd),nlimbr(mfid,krd),krvb(krd)
      dimension ilb(nraiz),i2b(nraiz),x11b(nraiz)
c vector con las frecuencias propias encontradas
c y sus respectivos nmeros discretos
      dimension qcvb(modim),mfivb(modim),zlonvb(modim)
      common /cavidad/flon,R0,qmn,qmx,e1,e2,ns
      common /ecua_dif/delta,pi,h
      common/besselp/derbes(mfid,krd)
c este archivo tiene 3 datos con el siguiente formato 2x,2i4.3,e14.7
      open(1,file='rdrbes.res',status='old')
      do i=1,nraiz
      read(1,*)ilb(i),i2b(i),x11b(i)
      end do
      nd=1
      do i=1,mfid
      do j=1,krd
      derbes(i,j)=x11b(nd)
      nd=nd+1
      end do
      end do
      call intrderbes(mfimax,krvb,nlimb1,nlimbr)

```

```

        call BFRECUENCIAS(mfimax,krvb,nlimbl,nlimbr,
$              idimb,qcvb,mfivb,zlonvb)
        return
    end
c-----
        subroutine intrderbes(mfimax,krvb,nlimbl,nlimbr)
        parameter(mfid=10,krd=10)
c nld=mfid*krd
        implicit real*8(a-h,o-z)
c el arreglo se llena con los valores de los nmeros discretos en los
cuales
c se espera que halla una raiz discreto(mfi,kr,nll,nlr) donde
c mfi es el nmero azimutal, kr el radial, nll es la cota izquierda
c de los nmeros longitudinales, mfimax, es el m ximo nmero azimutal y
c krvb es el vector que indica el m ximo nmero radial.
        dimension nlimbl(mfid,krd),nlimbr(mfid,krd),krvb(krd)
        common /cavidad/flon,R0,qmn,qmx,e1,e2,ns
        common /ecua_dif/delta,pi,h
        common/besselp/derbes(mfid,krd)
        external n_orderbes
        x1=dsqrt(e1)
        x2=dsqrt(e2)
        x3=x2*(qmx)*R0
c n_orderbess es una funci3n que da el maximo orden de la
c funci3n derivada de Besell para un x3 dado
        mfimax=n_orderbess(x3)
        do i=1,mfimax
c            mfi=i-1
                j=0
12            j=j+1
                kr=j-1
c raizbessel es una funci3n que da la raiz de orden kr
c de la funci3n de bessel de orden mfi
                x=derbes(i,j)
                z2=( (qmx*x2)**2-(x/R0)**2 )*(flon/pi)**2
                if(z2.ge.1.0)then
                    zt1=(qmn*x1)**2-(x/R0)**2
                    zt2=dabs( (qmn*x1)**2-(x/R0)**2 )
                    z1=(zt2+zt1)/2.0
                    y1=flon*dsqrt( z1 )/pi
                    y2=dsqrt( z2 )
                    nll=int(y1)
                    nlr=int(y2)
                    nlimbl(i,j)=nll
                    nlimbr(i,j)=nlr
                    go to 12
                end if
                krvb(i)=kr
        end do
        return
    end
c-----
c n_orderbess es una funci3n que da el maximo orden de la
c funci3n de Besell para un x3 dado
c-----
        function n_orderbess(x)
        parameter(mfid=10,krd=10)

```

```

        implicit real*8(a-h,o-z)
        common/besselp/derbes(mfid,krd)
        j=0
10      j=j+1
        if(derbes(j,1).lt.x)go to 10
        n_orderbess=j
        return
        end
C-----
C SUBROTINA QUE ENCUENTRA LAS FRECUENCIAS PROPIAS EN QUE SE EXITA UNA
CAVIDAD
C RESONANTE DE PERMITIVIDAD NO HOMOGENEA PARA E ONDA
C -----
        SUBROUTINE BFRECUENCIAS(mfimax,krvb,nlimbl,nlimbr,
$                                idimb,qcvb,mfivb,zlonvb)
        parameter(ndim=501,modim=14,mod2=28)
        parameter(mfid=10,krd=10)
        implicit real*8 (a-h,o-z)
        dimension nlimbl(mfid,krd),nlimbr(mfid,krd),krvb(krd)
        dimension qcvb(modim),mfivb(modim),zlonvb(modim)
        common /cavidad/flon,R0,qmn,qmx,e1,e2,ns
        external fraizB,Raiz12
C nmr nfmero de nodos radiales a buscar
C nl es el numero cuantico axial, mfi es el nfmero cu ntico azimuthal y kr
C es el n-mero cuantico radial
C nfronl(i),nfronr(i), da los intervalos en que
C el nfmero discreto axial puede variar
        pi= 4.0*datan(1.0)
        a=qmn**2
        b=qmx**2
        toler=1.0d-8
        icon=1
        il=(mfimax-1)/ns+1
        do i=1,il
            mfi=(i-1)
C indice para el vector
            mfiind=(mfi+1)*ns-(ns-1)
            do j=1,krvb(i)
                kr=j-1
C raizbessel es una funciön que da la raiz de orden kr
C de la funsiön de bessel de orden ns*mfi
                do nl=nlimbl(mfiind,j),nlimbr(mfiind,j)
                    xl=fraizB(mfi,kr,nl,a)
                    xr=fraizB(mfi,kr,nl,b)
                    if(xl*xr .le. 0.0)then
                        frecuencia=raiz11(fraizB,mfi,kr,nl,a,b,toler)
                        qcvb(icon)=frecuencia
                        mfivb(icon)=mfi
                        zlonvb(icon)=nl*pi/flon
                        icon=icon+1
                    end if
                end do
            end do
        end do
        idimb=icon-1
        return
        end

```

```

C-----
      function fraizB(mfi,kr,nl,qc)
C funci n que calcula la fase en la pared de la cavidad en
C funci n de el valor propio qc= omega**2/c**2
      parameter (np=10000)
C   np es el numero de nodos de malla en Runge-Kutta
      implicit real*8 (a-h,o-z)
      common /cavidad/flon,R0,qmn,qmx,e1,e2,ns
      common /ecua_dif/delta,pi,h
      external eps
C fronteras del problema de contorno.... delta < ro < R0
      romin=delta
      romax=R0
      sum=0.0
C Busquemos condiciones iniciales para el angulo
      gam2=eps(romin)*qc-(pi*nL/flon)**2
      x1=2.0d0*(ns*mfi+1.0)
      x2=gam2*romin**2
      tetaleft=-datan(romin*gam2/(x1-x2/2.0))
      roleft=romin
      np2=np/2
      do i=1,np2
        call rk4(tetaleft,gam2,roleft,tetaright,roright)
        rotm=roright
        tetamiddle=tetaright
        gam2t=eps(rotm)*qc-(pi*nL/flon)**2
        call rk4(tetamiddle,gam2,rotm,tetaright,roright)
        tetaleft=tetaright
        roleft=roright
        gam2=eps(roleft)*qc-(pi*nL/flon)**2
      end do
      tetaend=tetaright
      endtem=datan(ns*mfi/R0)
      frontera=endtem+pi*kr
      fraizB= tetaend+frontera
      return
      end

C =====
C PROGRAMA LIBRER A QUE REALIZA LA GRAFICA DE LAS LINEAS DE CAMPO
C FUNCION VECTORIAL
C BIDIMENSIONAL DADA EN UNA FRONTERA CIRCULAR, CON LINEAS DE CAMPO
C CIRCULARES
C este programa busca no graficar donde ya terminaron las lineas de
C fuerza
C para lo cual debe empezar a trazar desde la regi n de mayor intensidad
C-----
      subroutine vmuestreo(idim,qcv,mfiv,zlonv,idimb,qcvb,mfivb,
$                               zlonvb,radE,radB)
      parameter (np=10000)
      parameter(ndim=501,modim=14,mod2=28)
      implicit real*8(a-h,o-z)
      dimension tetamode(modim),sum(modim)
      dimension radE(ndim,mod2),radB(ndim,mod2)
      dimension qcv(modim),mfiv(modim),zlonv(modim)
      dimension qcvb(modim),mfivb(modim),zlonvb(modim)
      common /cavidad/flon,R0,qmn,qmx,e1,e2,ns
      common /ecua_dif/delta,pi,h

```

```

        common/arreglo/A0E(modim),A0B(modim)
        external eps
c esta variable es para indicar cuantos puntos se van a generar
c de los cuales solo se muestrearan ndim
c      itera=10*(ndim-1)
        itera=(np/2)
c bus quemos frecuencia de muestreo(es decir cada cuanto se va ha
muestrear)
        nfr=itera/(ndim-1)
c Busquemos condiciones iniciales para el coeficiente
do i=1,idim
    gam2=eps(ro)*qcv(i)-(zlonv(i))**2
    x1=2.0*(ns*mfiv(i)+1.0)
    x2=gam2*ro**2
    A0E(i)=dsqrt((x1-x2/2.0)**2+x2*gam2)/x1
end do
c llenado del vector de muestreo con la funci3n radial para una E-onda
call Emuestreo(idim,itera,nfr,qcv,mfiv,zlonv,tetamode,sum,radE)
do i=1,idimb
    gam2=eps(ro)*qcvb(i)-(zlonvb(i))**2
    x1=2.0*(ns*mfivb(i)+1.0)
    x2=gam2*ro**2
    A0B(i)=dsqrt((x1-x2/2.0)**2+x2*gam2)/x1
end do
c llenado del vector de muestreo para una B-onda
call Bmuestreo(idimb,itera,nfr,qcvb,mfivb,zlonvb,tetamode,sum,
$      radB)
c      do i=1,ndim
c          write(1,8)vr(i),va(i),i
c 8          format (3x,2e15.7,i6.4)
c      end do
c la siguiente subrutina calcula el valor de la magnitud maxima y
minima
c dividiendola en 10 segmentos y guardando estos valres en el vector
fronmag
c      stop
c      return
c      end
c =====
subroutine Emuestreo(idim,itera,nfr,qcv,mfiv,zlonv,
$      tetamode,sum,radE)
parameter(ndim=501,modim=14,mod2=28)
implicit real*8(a-h,o-z)
dimension tetamode(modim),sum(modim),radE(ndim,mod2)
dimension qcv(modim),mfiv(modim),zlonv(modim)
common /cavidad/flon,R0,qmn,qmx,e1,e2,ns
common /ecua_dif/delta,pi,h
common/arreglo/A0E(modim),A0B(modim)
external eps,funinteg
c valor del m;nimo radio
ro=delta
c Busquemos condiciones iniciales para el angulo
do i=1,idim
    gam2=eps(ro)*qcv(i)-(zlonv(i))**2
    x1=2.0*(ns*mfiv(i)+1.0)
    x2=gam2*ro**2
    tetamode(i)=-atan(ro*gam2/(x1-x2/2.0))

```

```

        j1=2*i-1
        j2=2*i
        radE(1,j1)=A0E(i)*dcos(tetamode(i))
        radE(1,j2)=A0E(i)*dsin(tetamode(i))
        sum(i)=0.0
    end do
c  mt=10*ndim  porque el radio se va aumentando cada 2.0*h
    mt=itera
    icon=1
    do i=1,mt
        if(mod(i,nfr).eq.0)then
            icon=icon+1
        end if
        do j=1,idim
            gam2=eps(ro)*qcv(j)-(zlonv(j))**2
            y1=funinteg(mfiv(j),gam2,tetamode(j),ro)
            call Rk4(tetamode(j),gam2,ro,tetaright,ror)
            tetamiddle=tetaright
            rol=ror
            gam2=eps(rol)*qcv(j)-(zlonv(j))**2
            y2=funinteg(mfiv(j),gam2,tetamiddle,rol)
            call Rk4(tetamiddle,gam2,rol,tetaright,ror)
            rot=ror
            gam2=eps(rot)*qcv(j)-(zlonv(j))**2
            y3=funinteg(mfiv(j),gam2,tetaright,rot)
            sum(j)=sum(j)+h*(y1+4.0*y2+y3)/3.0
            Amode=A0E(j)*dexp(sum(j))
            U=Amode*dcos(tetaright)
            Up=Amode*dsin(tetaright)
            tetamode(j)=tetaright
            if(mod(i,nfr).eq.0)then
                j1=2*j-1
                j2=2*j
                radE(icon,j1)=U
                radE(icon,j2)=Up
            end if
        end do
        ro=rot
    end do
    return
end

c-----
subroutine Bmuestreo(idimb,itera,nfr,qcvb,mfivb,zlonvb,
$               tetamode,sum,radB)
parameter(ndim=501,modim=14,mod2=28)
implicit real*8(a-h,o-z)
dimension tetamode(modim),sum(modim),radB(ndim,mod2)
dimension qcvb(modim),mfivb(modim),zlonvb(modim)
common /cavidad/flon,R0,qmn,qmx,e1,e2,ns
common /ecua_dif/delta,pi,h
common/arreglo/A0E(modim),A0B(modim)
external eps,funinteg
c valor del m;nimo radio
    ro=delta
c Busquemos condiciones iniciales para el angulo
    do i=1,idimb
        gam2=eps(ro)*qcvb(i)-(zlonvb(i))**2

```



```

        x1=2.0*(ns*mfivb(i)+1.0)
        x2=gam2*ro**2
        tetamode(i)=-atan(ro*gam2/(x1-x2/2.0))
        j1=2*i-1
        j2=2*i
        radB(1,j1)=A0B(i)*dcos(tetamode(i))
        radB(1,j2)=A0B(i)*dsin(tetamode(i))
        sum(i)=0.0
    end do
c   mt=10*ndim  porque el radio se va aumentando cada 2.0*h
        mt=itera
        icon=1
        do i=1,mt
            if(mod(i,nfr).eq.0)then
                icon=icon+1
            end if
            do j=1,idimb
                gam2=eps(ro)*qcvb(j)-(zlonvb(j))**2
                y1=funinteg(mfivb(j),gam2,tetamode(j),ro)
                call Rk4(tetamode(j),gam2,ro,tetaright,ror)
                tetamiddle=tetaright
                rol=ror
                gam2=eps(rol)*qcvb(j)-(zlonvb(j))**2
                y2=funinteg(mfivb(j),gam2,tetamiddle,rol)
                call Rk4(tetamiddle,gam2,rol,tetaright,ror)
                rot=ror
                gam2=eps(rot)*qcvb(j)-(zlonvb(j))**2
                y3=funinteg(mfivb(j),gam2,tetaright,rot)
                sum(j)=sum(j)+h*(y1+4.0*y2+y3)/3.0
                Amode=A0B(j)*dexp(sum(j))
                U=Amode*dcos(tetaright)
                Up=Amode*dsin(tetaright)
                tetamode(j)=tetaright
                if(mod(i,nfr).eq.0)then
                    j1=2*j-1
                    j2=2*j
                    radB(icon,j1)=U
                    radB(icon,j2)=Up
                end if
            end do
            ro=rot
        end do
        return
    end

c-----
        function funinteg(mfi,gam2,teta,ro)
c   función que calcula el valor la función dentro de la integral
        implicit real*8(a-h,o-z)
        common /cavidad/flon,R0,qmn,qmx,e1,e2,ns
        sn=dsin(teta)
        cn=dcos(teta)
        funinteg=(1.0-gam2)*sn*cn-(2.0*ns*mfi+1)*sn**2/ro
        return
    end
c-----

```

```

$debug
c PROGRAMA LIBRERÖA QUE REALIZA LA GRAFICA DE LAS LINEAS DE CAMPO
c EL CTRICO Y MAN TICO EN CORTES AXIALES Y LONGITUDINALES CON
c INFORMACIN MUESTREADA EN UNA FUNCION VECTORIAL
c-----
      subroutine GRAFICFIELD(idim,idimb,zazi,linmax,ladd1)
      parameter(ndim=501,modim=14,mod2=28)
c      parameter(mfid=10,krd=10,nraiz=100)
      implicit real*8(a-h,o-z)
      character*10 name
      common/E_onda/ qcv(modim),mfiv(modim),zlonv(modim)
      common/B_onda/ qcvb(modim),mfivb(modim),zlonvb(modim)
      real xmax,xmin,ymin,ymax,zmin,zmax
c      character*10 nameBa,nameBl,nameEa,nameEl
      common/radial/radE(ndim,mod2),radB(ndim,mod2)
      common /cavidad/flon,R0,qmn,qmx,e1,e2,ns
      common /ecua_dif/delta,pi,h
      common/tama/xmax,xmin,ymin,ymax,zmin,zmax
c maxlin es el m ximo nfmero de l;neas en la frontera, ancho es el paso
c con el cual se va barrer la cavidad.
      common/lineas/maxlin,ancho,ladd
      common/dim/idE,idB
      external Emagnitud,Bmagnitud,fBazi,fEazi,fBl,fEl,fEr,fBr
      open(5,file='intenem.res')
      idE=idim
      idB=idimb
c maxlin debe ser siempre un nfmero impar para evitar tomar una
singularidad
c en el origen
      maxlin=linmax
      ancho=(R0-delta)/(maxlin)
      ladd=ladd1
      xmin=-R0
      xmax=R0
      ymax=R0
      ymin=-R0
      zmin=0.0
      zmax=flon
c      zazi=1.0d0/150
c debemos tomar en cuenta las condiciones de nulidad para evitar
c singularidades de manera que solo entraremos a las subrutinas que
grafican
c si las condiciones de nulidad no se satisfacen
c empecemos con el campo magn,tico
c esta subrutina calcula los valores m ximos y m;nimos, de la amplitud de
campo
c      write(5,*)'test to bmagnitud'
c      t1=0.02d0
c      write(5,*)bmagnitud(t1,t1,t1)
c      write(5,*)'test to fbazi'
c      write(5,*)fbazi(t1,t1,t1)
      call magnitud(Bmagnitud,fmin,fmax)
      write(5,*)'primero el campo magn,tico'
      write(5,*)fmax,fmin
      fmnf=fmin
      fmxf=fmax
c ahora para el CAMPO ELECTRICO

```

```

        call magnitud(Emagnitud,fmin,fmax)
        write(5,*)'ahora el campo el,ctrico'
        write(5,*)fmax,fmin
c guardar gr fico 1
c         write(*,*)'nombre del grafico'
c         read(*,'(a)')nameBa
c hallo el maximo valor de mfi para cada modo
        mEmax=0
        mEmin=0
        mBmax=0
        mBmin=0
        do i=1,idE
            if(mEmax.lt.mfiv(i))then
                mEmax=mfiv(i)
            end if
            if(mEmin.gt.mfiv(i))then
                mEmin=mfiv(i)
            end if
        end do
        do i=1,idB
            if(mBmax.lt.mfivb(i))then
                mBmax=mfivb(i)
            end if
            if(mBmin.gt.mfivb(i))then
                mBmin=mfivb(i)
            end if
        end do
c comprobaci n de condiciones de no nulidad
        if(idE.gt.0.or.mBmax.gt.0)then
            name='bazim.pcx'
C esta subrutina grafica las lineas de campo en un corte transversal
            call Azimut(name,Bmagnitud,zazi,fmnb,fmxb)
        end if
        if(idB.gt.0.or.mEmax.gt.0)then
c guardar gr fico 2
            name='Baxial.pcx'
            call Axial(name,Bmagnitud,fBr,fBl,fmnb,fmxb)
            name='Binte.pcx'
            call inten(name,Bmagnitud)
        end if
        if(mEmax.gt.0.or.mBmax.gt.0)then
c guardar gr fico 3
            name='eazim.pcx'
            call Azimut(name,Emagnitud,zazi,fmin,fmax)
        end if
        if(idE.gt.0.or.mBmax.gt.0)then
c guardar gr fico 4
            name='Eaxial.pcx'
            if(mBmax.ge.1)then
                call explonE(name,fmin,fmax)
            else
                call Axial(name,Emagnitud,fEr,fEl,fmin,fmax)
            end if
            name='Einte.pcx'
            call inten(name,Emagnitud)
        end if
c comprobaci n de condiciones de no nulidad

```

```

        close(5)
        return
    end
c =====
    subroutine magnitud(rmagnitud,fmin,fmax)
    parameter(ndim=501,modim=14,mod2=28)
    implicit real*8(a-h,o-z)
    real xmax,xmin,ymin,ymax,zmin,zmax,zl
    common /ecua_dif/delta,pi,h
    common/tama/xmax,xmin,ymin,ymax,zmin,zmax
    common/lineas/maxlin,ancho,ladd
    external rmagnitud
c este nmero no debe ser cero porque entonces obtendriamos una
singularidad
    y=0.01d0
    jz=0
    delt=2*pi/44.0
    delz=ancho/10
c antes tenia escrito fmax=rmagnitud(0.0,0.0,0.0) y cuando volvía ha
usar esta
c función con valores de doble precisión me botaba errores de longitud
errónea
    fmax=rmagnitud(y,y,y)
    fmin=rmagnitud(y,y,y)
    do i=1,maxlin*5
        ro=delta+ancho*i/5
        do j=1,44
            teta=delt*j
16         jz=jz+1
            z=delz*(jz-1)
            zmag=rmagnitud(ro,teta,z)
c         write(5,*)zmag
            if(fmax.lt.zmag)then
                fmax=zmag
            end if
            if(fmin.gt.zmag)then
                fmin=zmag
            end if
            zl=z
            if(z.lt.zmax)go to 16
        end do
    end do
    return
    end
c -----
    subroutine Azimut(name,rmagnitud,z,fmin,fmax)
    implicit real*8(a-h,o-z)
    character*10 name
    dimension kpas(10)
    real xe(2),ye(2)
    real xmax,xmin,ymin,ymax,zmin,zmax,xl,xc,yc,
$     xleft,yleft,dx,xpage,dy,ypage
    common /cavidad/flon,R0,qmn,qmx,e1,e2,ns
    common /ecua_dif/delta,pi,h
    common/tama/xmax,xmin,ymin,ymax,zmin,zmax
    common/lineas/maxlin,ancho,ladd
c     external rmagnitud

```

```

        xe(1)=xmin
        xe(2)=xmax
        ye(1)=0.0
        ye(2)=0.0
c PARTE GRAFICA
c -----
c     Formar pagina tamaños xpage y ypage para dibujar
        xpage=30.0
        ypage=30.0
c     Escoger una parte de la pagina para el grafico
        xleft=9.0
        yleft=9.0
        dx=21.0
        dy=21.0
c     Llamada al regimen grafico de la pantalla
        CALL GRINIT
c     Dibujo con cuadro j=1 y sin cuadro j=0
        j=0
        CALL PAGE(xpage,ypage,'GRAF',4,j)
c     Mapeo de los datos segun el tamaño de la pagina
        call limits(xmin,xmax,ymin,ymax)
        j=1
        CALL REGION(xleft,yleft,dx,dy,0,0,j)
c     Color para los ejes
c         CALL SETPEN(16)
c     Dibujar los ejes
c         call lineo(xe,ye,16)
c         call lineo(ye,xo,16)
c         call lineo(xmin,0.0,16)
c         call lineo(xmax,0.0,16)
        call axes(0,0,0.,0,0,0,0.,0,0)
c FIN DE EL ADECUAMIENTO PARA LA PARTE GRAFICA
c -----
        write(*,*)'lineas de fuerza'
        write(*,*)'campo azimutal'
        write(*,*)'      ',name
        del=(fmax-fmin)/10.0d0
        xinit=1.0d-6
c         y=0.0
        teta=0.5d0
        i=0
c empezar a recorrer el eje en orden ascendente
30      i=i+1
        x=xinit+ancho*(i-1)
c        rol=sqrt(x**2+y**2)
        zmag=rmagnitud(x,teta,z)
        do j=1,10
            fl=fmin+del*(j-1)
            fr=fmin+del*j
            if(fl.lt.zmag.and.zmag.le.fr)then
                m=11-j
                kpas(m)=kpas(m)+1
                n=mod(kpas(m),m)
                if(n.eq.0)then
                    y1=dabs(x)
                    y2=xleft+dx*(y1-xmin)/(xmax-xmin)
                    xc=xleft-dx*xmin/(xmax-xmin)

```

```

c      yc=xc
      yc=yleft-dy*ymin/(ymax-ymin)
      x1=(y2-xc)
c      call full
      CALL SETPEN(16)
      call move(xc,yc,0)
      call circ(x1)
    end if
    m1=m+1
    m2=m-1
    if(2.le.m1.and.10.ge.m1)then
      kpas(m1)=m1+n
    end if
    if(1.le.m2.and.9.ge.m2)then
      if(n.eq.m2)then
        kpas(m2)=m2+n-1
      else
        kpas(m2)=m2+n
      end if
    end if
  end if
end do
c continua recorriendo hasta la frontera
  if(x.le.R0)go to 30
c  Salir del regimen grafico
c  guardar grafico con su respectivo nombre con extension pcx
  call wrpcx(16#a000,name)
  CALL ENDPG(0)
c moda(3) modo de texto
  CALL MODA(3)
  return
end

c -----
c para movernos sobre el eje z debemos buscar un punto en la seccion
c transversal que no sea nulo para encontrar raices sobre el eje z
c escojamos por no alargar ro=0.01 y teta=pi/4
c -----
      subroutine Axial(name,rmagnitud,frad,faxial,fmin,fmax)
      implicit real*8(a-h,o-z)
      character*10 name
      dimension kpas(10),tramp(33)
      real ze(2),xe(2)
      real xmax,xmin,ymin,ymax,zmin,zmax,
$      xleft,yleft,dx,xpage,dy,ypage
      common /cavidad/flon,R0,qmn,qmx,e1,e2,ns
      common /ecua_dif/delta,pi,h
      common/corteaxial/xleft,yleft,dx,xpage,dy,ypage
      common/tama/xmax,xmin,ymin,ymax,zmin,zmax
      common/lineas/maxlin,ancho,ladd
      external rmagnitud,frad,faxial
      ze(1)=zmin
      ze(2)=zmax
      xe(1)=0.0
      xe(2)=0.0
      rtes=1.0d-2
      ttes=pi/4.0

```

```

c vector que llena los l;mites en las fronteras verticales, es decir con
las
c raices de campo sobre el eje z, puesto que toda l;nes que toque esta
raiz
c sale paralela al eje x y entonces no barro com`pletamente toda la
cavidad
      pa=1.0d-6
      xl=pa
      j=1
17      j=j+1
      xr=xl+pa
18      continue
      a=faxial(rtes,ttes,xl)
      b=faxial(rtes,ttes,xr)
      sig=a*b
      xl=xr
      xr=xl+pa
      if(sig.gt.0.0d0)go to 18
      xlp=(xr-pa/2.0)
c      write(*,*)'tramps axials'
c      write(*,*)xlp
c      read(*,*)
      tramp(j)=xlp
      xl=xlp+2.0*pa
      if(xl.lt.flon.and.j.lt.30)go to 17
      ndt=j
c PARTE GRAFICA
c -----
c      Formar pagina tamaños xpage y ypage para dibujar
      xpage=30.0
      ypage=30.0
c      Escoger una parte de la pagina para el grafico
      xleft=3.0
      yleft=11.0
      dx=27.0
      dy=19.0
c      Llamada al regimen grafico de la pantalla
      CALL GRINIT
c      Dibujo con cuadro j=1 y sin cuadro j=0
      j=0
      CALL PAGE(xpage,ypage,'GRAF',4,j)
c      Mapeo de los datos segun el tamaño de la pagina
      call limits(zmin,zmax,xmin,xmax)
      j=1
      CALL REGION(xleft,yleft,dx,dy,0,0,j)
c      Color para los ejes
      CALL SETPEN(16)
c      Dibujar los ejes
c      call lineo(ze,x,16)
c      call lineo(xmin,0.0,16)
c      call lineo(xmax,0.0,16)
      call axes(0,0,0.,0,0,0,0.,0,0)
c FIN DE EL ADECUAMIENTO PARA LA PARTE GRAFICA
c -----
c esto es para que me reconozca a frad como una funciøn y no como un
argumento
c cuando lo utilice en la subroutine isocлина

```

```

c      yt=0.0d0
c      ytl=frac(yt,yt,yt)
c pero si declaro como external no hay problema
      write(*,*)'lineas'
      write(*,*)'de'
      write(*,*)'fuerza'
      write(*,*)'corte axial'
      write(*,*)' ',name
      write(*,*)'densi+'
      write(*,*)ladd
      teta=pi/4.0
      del=(fmax-fmin)/10.0d0
c pero primero hay que redefinir el paso para que quede acorde con la
densidad
c de lineas por area de barrido para el caso del campo azimutal
      nlin=int(2*f lon*maxlin/(pi*R0*(ndt-1)))+ladd
      anch=(xmax-xmin)/nlin
c estos puntos no son de trampa pero si de limite
      tramp(1)=zmin
      tramp(ndt)=zmax
      do i=1,ndt-1
c para que todas lineas se generen de la misma forma
        do j=1,10
          kpas(j)=0
        end do
        icon=0
c es la recta de generaci3n de lineas de fuerza
        source=(tramp(i)+tramp(i+1))/2.0
        zs=source
c fronteras verticales, trampas para las lineas de fuerza
        zl=tramp(i)
        zr=tramp(i+1)
        teta=pi/4.0
c definir limites verticales para la parte inferior
        xu=0.0d0
        xd=-R0
c recorrer las rectas verticales ascendente hasta el origen
        k=0
19      k=k+1
          v=xmin+anch*(k-1)
          zmag=rmagnitud(v,teta,zs)
c este paso es para graficar con una frecuencia espacial directamente
c proporcional a la magnitud del campo en dicho intervalo
c para evitar que se presenten n3meros muy grandes
c      if(dabs(v).lt.1.0d-7)then
c        v=1.0d-7
c      end if
      do j=1,10
        fl=fmin+del*(j-1)
        fr=fmin+del*j
        if(fl.le.zmag.and.zmag.le.fr)then
          m=11-j
          kpas(m)=kpas(m)+1
          n=mod(kpas(m),m)
          if(n.eq.0)then
            if(icon.eq.0)then
              call isoclina(frac,faxial,v,teta,zs,zl,zr,xu,xd,xf,zf)

```



```

        if(abs(zf-zs).lt.1.0e-5)then
            xfmin=xf
            xfmax=xf
            icon=1
        end if
    else
        a1=abs(zf-zs)
        a2=a1-1.0e-4
c        write(5,*)'test to seek if intro to grafic'
c        write(5,*)xfmin,xfmax
        if(a2.gt.0.0.or.v.lt.xfmin.and.v.lt.xfmax.or.
$        v.gt.xfmin.and.v.gt.xfmax)then
            call isoclina(frad,faxial,v,teta,zs,zl,zr,xu,xd,xf,zf)
            if(a2.lt.0.0)then
                if(xf.gt.xfmax)then
                    xfmax=xf
                end if
                if(xf.lt.xfmin)then
                    xfmin=xf
                end if
            end if
        end if
    end if
end if
m1=m+1
m2=m-1
if(2.le.m1.and.10.ge.m1)then
    kpas(m1)=m1+n
end if
if(1.le.m2.and.9.ge.m2)then
    kpas(m2)=m2+n
end if
end do
    if(v.lt.0.0d0)go to 19
c recorrer las rectas verticales descendente hasta el origen
    teta=teta+pi
c definir limites verticales para la parte superior
    xd=0.0d0
    xu=R0
c para que todas lineas se generen de la misma forma
    do j=1,10
        kpas(j)=0
    end do
    icon=0
    k=0
15    k=k+1
        v=xmax-anch*(k-1)
        zmag=rmagnitud(v,teta,zs)
c este paso es para graficar con una frecuencia espacial directamente
c proporcional a la magnitud del campo en dicho intervalo
c para evitar que se presenten nfmeros muy grandes
c        if(dabs(v).lt.1.0d-7)then
c            v=1.0d-7
c        end if
    do j=1,10
        fl=fmin+del*(j-1)

```

```

fr=fmin+del*j
if(fl.le.zmag.and.zmag.le.fr)then
  m=11-j
  kpas(m)=kpas(m)+1
  n=mod(kpas(m),m)
  if(n.eq.0)then
    if(icon.eq.0)then
      call isoclina(frad,faxial,v,teta,zs,zl,zr,xu,xd,xf,zf)
      if(abs(zf-zs).lt.1.0e-5)then
        xfmin=xf
        xfmax=xf
        icon=1
      end if
    else
      al=abs(zf-zs)
      a2=al-1.0e-4
c      write(5,*)'test to seek if intro to grafic'
c      write(5,*)a2
      if(a2.gt.0.0.or.v.lt.xfmin.and.v.lt.xfmax.or.
$      v.gt.xfmin.and.v.gt.xfmax)then
        call isoclina(frad,faxial,v,teta,zs,zl,zr,xu,xd,xf,zf)
        if(a2.lt.0.0)then
          if(xf.gt.xfmax)then
            xfmax=xf
          end if
          if(xf.lt.xfmin)then
            xfmin=xf
          end if
        end if
      end if
    end if
  end if
  m1=m+1
  m2=m-1
  if(2.le.m1.and.10.ge.m1)then
    kpas(m1)=m1+n
  end if
  if(1.le.m2.and.9.ge.m2)then
    kpas(m2)=m2+n
  end if
end do
  if(v.gt.0.0d0)go to 15
end do
c *****
c guardar grafico con su respectivo nombre con extension pcx
  call wrpcx(16#a000,name)
c Salir del regimen grafico
  CALL ENDPG(0)
c moda(3) modo de texto
  CALL MODA(3)
  return
end
c -----
  subroutine isoclina(frad,faxial,x0,teta,z0,zl,zr,xu,xd,xf,zf)
  parameter(ndim=501,modim=14,mod2=28)
  implicit real*8(a-h,o-z)

```

```

      real ax1,ay1
      real xmax,xmin,ymin,ymax,zmin,zmax,
$      xleft,yleft,dx,xpage,dy,ypage
      common /cavidad/flon,R0,qmn,qmx,e1,e2,ns
      common /ecua_dif/delta,pi,h
      common/corteaxial/xleft,yleft,dx,xpage,dy,ypage
      common/tama/xmax,xmin,ymin,ymax,zmin,zmax
      common/lineas/maxlin,ancho,ladd
      external frad,faxial
c   Graficar la posicion inicial
      z=z0
      x=x0
      il=0
c   esto es nesessario para cuadrar tanto la escala de los ejes como su
origen
      ax1=xleft+dx*(z-zmin)/(zmax-zmin)
      ay1=yleft+dy*(x-ymin)/(xmax-ymin)
c   paso de la longitud de arco (hipotenusa) para saltar al siguiente punto
      arco=(R0-delta)/(ndim-101)
c      zll=zl
c      zrl=zr
      zll=zl+1.0*arco
      zrl=zr-1.0*arco
c      xdl=xd+1.0*arco
c      xupl=xup-1.0*arco
c -----
c   mover cursor a esta posici n pero sin color, es decir sin dejar huella
30      CALL SETPEN(0)
      call move(ax1,ay1,0)
      tem=dsqrt(frad(x,teta,z)**2+faxial(x,teta,z)**2)
      dercos=faxial(x,teta,z)/tem
      dersen=frad(x,teta,z)/tem
c   graficar en el mismo sentido del angulo
      z=z+arco*dercos
      x=x+arco*dersen
      ax1=xleft+dx*(z-zmin)/(zmax-zmin)
      ay1=yleft+dy*(x-xmin)/(xmax-xmin)
      CALL SETPEN(16)
      call move(ax1,ay1,1)
      il=il+1
      if(z.gt.zll.and.z.le.z0.and.x.lt.xu.and.x.gt.xd)go to 30
      if(il.gt.5)then
        zf=z
        xf=x
      end if
c   graficar en el sentido opuesto del angulo
      z=z0
      x=x0
      il=0
c   esto es nesessario para cuadrar tanto la escala de los ejes como su
origen
      ax1=xleft+dx*(z-zmin)/(zmax-zmin)
      ay1=yleft+dy*(x-xmin)/(xmax-xmin)
31      CALL SETPEN(0)
      call move(ax1,ay1,0)
      tem=dsqrt(frad(x,teta,z)**2+faxial(x,teta,z)**2)
      dercos=faxial(x,teta,z)/tem

```

```

        dersen=frac(x,teta,z)/tem
        z=z-arco*dercos
        x=x-arco*dersen
        ax1=xleft+dx*(z-zmin)/(zmax-zmin)
        ay1=yleft+dy*(x-xmin)/(xmax-xmin)
CALL SETPEN(16)
        call move(ax1,ay1,1)
        il=il+1
        if(z.gt.zl1.and.z.le.z0.and.x.lt.xu.and.x.gt.xd)go to 31
        if(il.gt.5)then
            zf=z
            xf=x
        end if
c -----
c graficar en el intervalo derecho
c graficar en el mismo sentido del angulo
c         zt=z-arco*dercos
c mover cursor a esta posici n pero sin color, es decir sin dejar huella
        z=z0
        x=x0
        il=0
c esto es necesario para cuadrar tanto la escala de los ejes como su
origen
        ax1=xleft+dx*(z-zmin)/(zmax-zmin)
        ay1=yleft+dy*(x-xmin)/(xmax-xmin)
32      CALL SETPEN(0)
        call move(ax1,ay1,0)
        tem=dsqrt(frac(x,teta,z)**2+faxial(x,teta,z)**2)
        dercos=faxial(x,teta,z)/tem
        dersen=frac(x,teta,z)/tem
c graficar en el mismo sentido del angulo
        z=z+arco*dercos
        x=x+arco*dersen
        ax1=xleft+dx*(z-zmin)/(zmax-zmin)
        ay1=yleft+dy*(x-xmin)/(xmax-xmin)
CALL SETPEN(16)
        call move(ax1,ay1,1)
        il=il+1
        if(z.ge.z0.and.z.lt.zr1.and.x.lt.xu.and.x.gt.xd)go to 32
        if(il.gt.5)then
            zf=z
            xf=x
        end if
c graficar en el sentido opuesto del angulo
        z=z0
        x=x0
        il=0
c esto es necesario para cuadrar tanto la escala de los ejes como su
origen
        ax1=xleft+dx*(z-zmin)/(zmax-zmin)
        ay1=yleft+dy*(x-xmin)/(xmax-xmin)
33      CALL SETPEN(0)
        call move(ax1,ay1,0)
        tem=dsqrt(frac(x,teta,z)**2+faxial(x,teta,z)**2)
        dercos=faxial(x,teta,z)/tem
        dersen=frac(x,teta,z)/tem
        z=z-arco*dercos

```

```

        x=x-arco*dersen
        ax1=xleft+dx*(z-zmin)/(zmax-zmin)
        ay1=yleft+dy*(x-xmin)/(xmax-xmin)
CALL SETPEN(16)
        call move(ax1,ay1,1)
        il=il+1
        if(z.ge.z0.and.z.lt.zr1.and.x.lt.xu.and.x.gt.xd)go to 33
        if(il.gt.5)then
            zf=z
            xf=x
        end if
        return
    end
end
c -----
        subroutine explonE(name,fmin,fmax)
        implicit real*8(a-h,o-z)
        character*10 name
        dimension kpas(10)
        real xmax,xmin,ymin,ymax,zmin,zmax,ax1,ay1,
$      xleft,yleft,dx,xpage,dy,ypage
        common /cavidad/flon,R0,qmn,qmx,e1,e2,ns
        common /ecua_dif/delta,pi,h
        common/corteaxial/xleft,yleft,dx,xpage,dy,ypage
        common/tama/xmax,xmin,ymin,ymax,zmin,zmax
        common/lineas/maxlin,ancho,ladd
        external Emagnitud,fEr
c PARTE GRAFICA
c -----
c      Formar pagina tamaños xpage y ypage para dibujar
        xpage=30.0
        ypage=30.0
c      Escoger una parte de la pagina para el grafico
        xleft=3.0
        yleft=11.0
        dx=27.0
        dy=19.0
c      Llamada al regimen grafico de la pantalla
        CALL GRINIT
c      Dibujo con cuadro j=1 y sin cuadro j=0
        j=0
        CALL PAGE(xpage,ypage,'GRAF',4,j)
c      Mapeo de los datos segun el tamaño de la pagina
        call limits(zmin,zmax,xmin,xmax)
        j=1
        CALL REGION(xleft,yleft,dx,dy,0,0,j)
c      Color para los ejes
        CALL SETPEN(16)
c      Dibujar los ejes
        call lineo(ze,xe,16)
c      call axes(0,0,0.,0,0,0,0.,0,0)
c FIN DE EL ADECUAMIENTO PARA LA PARTE GRAFICA
c -----
        write(*,*)'lineas'
        write(*,*)'de'
        write(*,*)'fuerza'
        write(*,*)'corte axial'
        write(*,*)' ',name

```

```

        write(*,*)'densi+'
        write(*,*)ladd
c vector que llena los nodos horizontales
c ztes=es un punto de prueba para encontrar raices sobre el eje x
        ztes=1.1d-1
        ttes=pi/4
        pa=1.0d-5
        xl=-R0
        j=1
17      j=j+1
        xr=xl+pa
18      continue
        a=fEr(xl,ttes,ztes)
        b=fEr(xr,ttes,ztes)
        sig=a*b
        xl=xr
        xr=xl+pa
        if(sig.gt.0.0d0.and.xr.lt.R0)go to 18
c      if(xr.gt.R0)go to
        xlp=(xr-pa/2.0)
c      Graficar la posicion inicial
        z=zmin
        x=xlp
c esto es nesessario para cuadrar tanto la escala de los ejes como su
origen
        axl=xleft+dx*(z-zmin)/(zmax-zmin)
        ayl=yleft+dy*(x-ymin)/(xmax-ymin)
c paso de la longitud de arco (hipotenusa) para saltar al siguiente punto
        arco=(zmax-zmin)/10
c -----
c mover cursor a esta posiciñ pero sin color, es decir sin dejar huella
42      CALL SETPEN(0)
        call move(axl,ayl,0)
c hago un proceso de ampliar para en caso de baja amplitud de campo al
redondear
c pasando de real doble a simple puede ser que tome el campo como cero y
se me
c demore mucho en avanzar
        z=z+arco
        axl=xleft+dx*(z-zmin)/(zmax-zmin)
        ayl=yleft+dy*(x-xmin)/(xmax-xmin)
        CALL SETPEN(16)
        call move(axl,ayl,1)
        if(z.lt.zmax)go to 42
        xl=xlp+2.0*pa
        if(xl.lt.R0.and.j.lt.13)go to 17
        teta=pi/4.0
        del=(fmax-fmin)/10.0d0
c pero primero hay que redefinir el paso para que quede acorde con la
densidad
c de lineas por area de barrido para el caso del campo azimutal
        nlin=int(2*flon*maxlin/(pi*R0))+ladd
        anch=(zmax-zmin)/nlin
c para que todas lineas se generen de la misma forma
        do j=1,10
            kpas(j)=0
        end do

```

```

c recorrer el eje horizontal ascendente hasta el extremo
c rtes= radio par expandir las lineas verticales
  rtes=0.005d0
  k=0
19   k=k+1
      v=zmin+anch*(k-1)
c     ze(1)=v
c     ze(2)=v
      zmag=Emagnitud(rtes,teta,v)
c     write(*,*)'tets to magnitud'
c     write(*,*)zmag
c     read(*,*)
      do j=1,10
        fl=fmin+del*(j-1)
        fr=fmin+del*j
        if(fl.le.zmag.and.zmag.le.fr)then
          m=11-j
          kpas(m)=kpas(m)+1
          n=mod(kpas(m),m)
          if(n.eq.0)then
c    Graficar la posicion inicial
            z=v
            x=xmin
c esto es nesessario para cuadrar tanto la escala de los ejes como su
origen
            ax1=xleft+dx*(z-zmin)/(zmax-zmin)
            ay1=yleft+dy*(x-xmin)/(xmax-xmin)
c paso de la longitud de arco (hipotenusa) para saltar al siguiente punto
            arco=(R0-delta)/10
c -----
c mover cursor a esta posici n pero sin color, es decir sin dejar huella
33   CALL SETPEN(0)
      call move(ax1,ay1,0)
c hago un proceso de ampliar para en caso de baja amplitud de campo al
redondear
c pasando de real doble a simple puede ser que tome el campo como cero y
se me
c demore mucho en avanzar
      x=x+arco
      ax1=xleft+dx*(z-zmin)/(zmax-zmin)
      ay1=yleft+dy*(x-xmin)/(xmax-xmin)
      CALL SETPEN(16)
      call move(ax1,ay1,1)
      if(x.lt.xmax)go to 33
      end if
      end if
      m1=m+1
      m2=m-1
      if(2.le.m1.and.10.ge.m1)then
        kpas(m1)=m1+n
      end if
      if(1.le.m2.and.9.ge.m2)then
        kpas(m2)=m2+n
      end if
      end do
      if(v.lt.flon)go to 19
c *****

```

```

c guardar grafico con su respectivo nombre con extension pcx
  call wrpcx(16#a000,name)
c Salir del regimen grafico
  CALL ENDPG(0)
c moda(3) modo de texto
  CALL MODA(3)
  return
end

c -----
  subroutine inten(name,rmagnitud)
c   parameter(ndim=1001)
  parameter (np1=100)
  parameter (mp=100)
  implicit real*8(a-h,o-z)
  character*10 name
  real xt(np1),yt(mp),zt(np1,mp)
  real xmax,xmin,ymin,ymax,zmin,zmax
  common /cavidad/flon,R0,qmn,qmx,e1,e2,ns
  common /ecua_dif/delta,pi,h
  common/tama/xmax,xmin,ymin,ymax,zmin,zmax
  common/lineas/maxlin,ancho,ladd
  h1=(zmax-zmin)/(np1-1)
  h2=(xmax-xmin)/(mp-1)
  teta=pi/4+pi
  do i=1,np1
    z=zmin+(i-1)*h1
    xt(i)=z
    do j=1,mp
      x=xmin+(j-1)*h2
      yt(j)=x
      if(x.gt.0.0)then
        teta=teta-pi
      end if
      zt(i,j)=rmagnitud(x,teta,z)
    end do
  end do
c el eje z se representa vertical
  call surf(zt,yt,xt,np1,mp,name)
  return
end

C =====
  Subroutine surf(zt,xt,yt,np1,mp,name)
c
c   NT - Cantidad de los puntos
c
c   dimension Xt(np1),Yt(mp),Zt(np1,mp),AR(500),A(5000)
  CHARACTER*10 NAME
  zmax=abs(zt(1,1))
  do i=1,np1
    do j=1,mp
      if(abs(zt(i,j)).gt.zmax) zmax=abs(zt(i,j))
    end do
  end do
c   read (*,*)
  CALL GRINIT
  call init
  call isomet

```



```

c      Formar pagina tamaños xpage y ypage para dibujar
c      xpage=30.0
c      ypage=30.0
c      Escoger una parte de la pagina para el grafico
c      xleft=3.0
c      yleft=11.0
c      dx=27.0
c      dy=19.0
c      Dibujo con cuadro j=1 y sin cuadro j=0
c      j=0
c      CALL PAGE(xpage,ypage,'GRAF',4,j)
c      CALL PAGE(30.,20.,'GRAF',4,0)
c      CALL TDLIM(XT,YT,ZT,mp,np1,1,mp,1,np1,S)
c      CALL REGION(xleft,yleft,dx,dy,0,0,j)
c      CALL REGION(1.,8.,29.,19.,0,0,0)
c      CALL SETPEN(16)
c      CALL THREEED (XT,YT,ZT,mp,np1,1,mp,1,np1,0,200,A,AR )
c      END DO
c
c      call wrpcx(16#a000,name)
c      CALL ENDPG(0)
c      CALL MODA(3)
c      return
c      END
c -----
c funciones para el campo magn,tico
c -----
c      function Bmagnitud(ro,teta,z)
c      implicit real*8(a-h,o-z)
c      external fBazi,fBr,fBl
c      r1=(fbazi(ro,teta,z))**2
c      r2=(fbr(ro,teta,z))**2
c      r3=(fbl(ro,teta,z))**2
c      Bmagnitud=dsqrt(r1+r2+r3)
c      return
c      end
c -----
c      function fBazi(ro1,teta,z)
c      parameter(ndim=501,modim=14,mod2=28)
c      implicit real*8(a-h,o-z)
c      common/E_onda/ qcv(modim),mfiv(modim),zlonv(modim)
c      common/B_onda/ qcvb(modim),mfivb(modim),zlonvb(modim)
c      common/radial/radE(ndim,mod2),radB(ndim,mod2)
c      common /cavidad/flon,R0,qmn,qmx,e1,e2,ns
c      common /ecua_dif/delta,pi,h
c      common/dim/idE,idB
c      external absort,eps
c      pas=R0/(ndim-1)
c suma de las funciones para los distintos modos
c      temE=0.0d0
c      ro=dabs(ro1)
c antes habia olvidado sumar 1 y racuerde quemlos subndices de arreglos
c empiezan en 1 y no en cero entonces me botaba errores de
c subindice del arreglo fuera de rango
c      j1=int(ro/pas)+1
c      if(j1.ge.ndim)then
c          j1=ndim-1

```

```

        end if
        j2=j1+1
        do i=1,idE
            i1=2*i-1
            i2=2*i
c permutaci n lineal
            ur=radE(j1,i1)+(radE(j2,i1)-radE(j1,i1))*(ro-pas*(j1-1))/pas
            up=radE(j1,i2)+(radE(j2,i2)-radE(j1,i2))*(ro-pas*(j1-1))/pas
            gam2=eps(ro)*qcv(i)-(zlonv(i))**2
            t1=eps(ro)*dsqrt(qcv(i))*dcos(ns*mfiv(i)*teta)*dcos(zlonv(i)*z)
            mt=ns*mfiv(i)
            if(mt.eq.0)then
                t2=0
            else
                t2=ns*mfiv(i)*ro**(mt-1)*ur
            end if
c            write(5,*)'test to radE'
c            write(5,*)radE(j1,i1)
            t3=ro**(mt)*up
            temE=temE+(t2+t3)*t1*absort(qcv(i))/gam2
        end do
        temB=0.0d0
        do i=1,idB
            i1=2*i-1
            i2=2*i
c permutaci n lineal
            ur=radB(j1,i1)+(radB(j2,i1)-radB(j1,i1))*(ro-pas*(j1-1))/pas
c            up=radB(j1,i2)+(radB(j2,i2)-radB(j1,i2))*(ro-pas*(j1-1))/pas
            mt=ns*mfivb(i)
            gam2=eps(ro)*qcvb(i)-(zlonvb(i))**2
            t1=-zlonvb(i)*dsin(ns*mfivb(i)*teta)*dcos(zlonvb(i)*z)
            if(mfivb(i).eq.0)then
                t2=0
            else
                t2=ro**(mt-1)*ur*absort(qcvb(i))*ns*mfivb(i)
            end if
            temB=temB+t2*t1/gam2
        end do
c hay que definir cad modo por separado y no enlazarlos de manera que la
suma
c se contin e en el otro modo ya que du no entrar en elseugundo este
quedar a
c sin definir y por defecto se tomeria como cero.
c        if(rol.ge.0.0)then
c            fBazi=temB+temE
c        else
c            fBazi=-temB-temE
c        end if
        return
    end

c -----
    function fBr(rol,teta,z)
    parameter(ndim=501,modim=14,mod2=28)
    implicit real*8(a-h,o-z)
    common/E_onda/ qcv(modim),mfiv(modim),zlonv(modim)
    common/B_onda/ qcvb(modim),mfivb(modim),zlonvb(modim)
    common/radial/radE(ndim,mod2),radB(ndim,mod2)

```

```

common /cavidad/flon,R0,qmn,qmx,e1,e2,ns
common /ecua_dif/delta,pi,h
common/dim/idE,idB
external absort,eps
c      pas=20.0*h
      pas=R0/(ndim-1)
c suma de las funciones para los distintos modos
      temE=0.0d0
      ro=dabs(ro1)
      j1=int(ro/pas)+1
      if(j1.ge.ndim)then
        j1=ndim-1
      end if
      j2=j1+1
      do i=1,idE
        i1=2*i-1
        i2=2*i
c permutaci n lineal
        ur=radE(j1,i1)+(radE(j2,i1)-radE(j1,i1))*(ro-pas*(j1-1))/pas
c        up=radE(j1,i2)+(radE(j2,i2)-radE(j1,i2))*(ro-pas*(j1-1))/pas
        mt=ns*mfiv(i)
        t1=dcos(zlonv(i)*z)/(eps(ro)*qcv(i)-(zlonv(i))**2)
        if(mfiv(i).eq.0)then
          t2=0
        else
          t2=ro**(mt-1)*ur*absort(qcv(i))*mt
        end if
        t3=eps(ro)*dsqrt(qcv(i))*dsin(ns*mfiv(i)*teta)
        temE=temE+t2*t1*t3
      end do
      temB=0.0d0
      do i=1,idB
        i1=2*i-1
        i2=2*i
c permutaci n lineal
        ur=radB(j1,i1)+(radB(j2,i1)-radB(j1,i1))*(ro-pas*(j1-1))/pas
        up=radB(j1,i2)+(radB(j2,i2)-radB(j1,i2))*(ro-pas*(j1-1))/pas
        mt=ns*mfivb(i)
        gam2=eps(ro)*qcvb(i)-(zlonvb(i))**2
        t1=zlonvb(i)*dcos(ns*mfivb(i)*teta)*dcos(zlonvb(i)*z)
        if(mfivb(i).eq.0)then
          t2=0
        else
          t2=ns*mfivb(i)*ro**(mt-1)*ur
        end if
        t3=ro**mt*up
        temB=temB+(t2+t3)*t1*absort(qcvb(i))/gam2
      end do
      if(ro1.ge.0.0)then
        fBr=temB+temE
      else
        fBr=-temB-temE
      end if
      return
    end
c -----
function fBl(ro1,teta,z)

```

```

parameter(ndim=501,modim=14,mod2=28)
implicit real*8(a-h,o-z)
common/E_onda/ qcv(modim),mfiv(modim),zlonv(modim)
common/B_onda/ qcvb(modim),mfivb(modim),zlonvb(modim)
common/radial/radE(ndim,mod2),radB(ndim,mod2)
common /cavidad/flon,R0,qmn,qmx,e1,e2,ns
common /ecua_dif/delta,pi,h
common/dim/idE,idB
external absort
c      pas=20.0*h
      pas=R0/(ndim-1)
c suma de las funciones para los distintos modos
      temBz=0.0d0
      ro=dabs(rol)
      j1=int(ro/pas)+1
      if(j1.ge.ndim)then
        j1=ndim-1
      end if
      j2=j1+1
      do i=1,idB
        i1=2*i-1
        i2=2*i
c permutaci3n lineal
        ur=radB(j1,i1)+(radB(j2,i1)-radB(j1,i1))*(ro-pas*(j1-1))/pas
        t1=dsin(zlonvb(i)*z)*dcos(ns*mfivb(i)*teta)
        mt=ns*mfivb(i)
        t2=ro**mt*ur*absort(qcvb(i))
        temBz=temBz+t2*t1
      end do
      fBl=temBz
      return
      end

c -----
c en esta funci3n se factoriz3 1.0d-8
      function absort(qc)
      implicit real*8(a-h,o-z)
      common /cavidad/flon,R0,qmn,qmx,e1,e2,ns
      common /ecua_dif/delta,pi,h
      t1=3.0*dsqrt(2.0*pi)
      delq2=((qmx-qmn)/2.0)**2
      t2=dsqrt(delq2+(dsqrt(qc)-qmx)**2)
      absort=1.0/(t1*t2)
      return
      end

c -----
c funciones para el campo el,ctrico
c -----
      function Emagnitud(ro,teta,z)
      implicit real*8(a-h,o-z)
      external fEazi,fEr,fEl
      r1=(fEazi(ro,teta,z))**2
      r2=(fEr(ro,teta,z))**2
      r3=(fEl(ro,teta,z))**2
      Emagnitud=dsqrt(r1+r2+r3)
      return
      end
c -----

```

```

function fEazi(rol,teta,z)
parameter(ndim=501,modim=14,mod2=28)
implicit real*8(a-h,o-z)
common/E_onda/ qcv(modim),mfiv(modim),zlonv(modim)
common/B_onda/ qcvb(modim),mfivb(modim),zlonvb(modim)
common/radial/radE(ndim,mod2),radB(ndim,mod2)
common /cavidad/flon,R0,qmn,qmx,e1,e2,ns
common /ecua_dif/delta,pi,h
common/dim/idE,idB
external absort,eps
c      pas=20.0*h
      pas=R0/(ndim-1)
c suma de las funciones para los distintos modos
      temE=0.0d0
      ro=dabs(rol)
      j1=int(ro/pas)+1
      if(j1.ge.ndim)then
        j1=ndim-1
      end if
      j2=j1+1
      do i=1,idE
        i1=2*i-1
        i2=2*i
c permutaci n lineal
        ur=radE(j1,i1)+(radE(j2,i1)-radE(j1,i1))*(ro-pas*(j1-1))/pas
        up=radE(j1,i2)+(radE(j2,i2)-radE(j1,i2))*(ro-pas*(j1-1))/pas
        mt=ns*mfiv(i)
        gam2=eps(ro)*qcv(i)-(zlonv(i))**2
        t1=zlonv(i)*dsin(ns*mfiv(i)*teta)*dsin(zlonv(i)*z)
        if(mfiv(i).eq.0)then
          t2=0
        else
          t2=ro**(mt-1)*ur*absort(qcv(i))*mt
        end if
        temE=temE+t2*t1/gam2
      end do
      temB=0.0d0
      do i=1,idB
        i1=2*i-1
        i2=2*i
c permutaci n lineal
        ur=radB(j1,i1)+(radB(j2,i1)-radB(j1,i1))*(ro-pas*(j1-1))/pas
        up=radB(j1,i2)+(radB(j2,i2)-radB(j1,i2))*(ro-pas*(j1-1))/pas
        mt=ns*mfivb(i)
        gam2=eps(ro)*qcvb(i)-(zlonvb(i))**2
        t1=3.0d8*dsqrt(qcvb(i))*dcos(ns*mfivb(i)*teta)*dsin(zlonvb(i)*z)
        if(mfivb(i).eq.0)then
          t2=0
        else
          t2=ns*mfivb(i)*ro**(mt-1)*ur
        end if
        t3=ro**mt*up
        temB=temB+(t2+t3)*t1/gam2
      end do
c      if(rol.ge.0.0)then
        fEazi=temB+temE
c      else

```

```

c      fEazi=-temB-temE
c      end if
c      return
c      end
c -----
c      function fEr(rol,teta,z)
c      parameter(ndim=501,modim=14,mod2=28)
c      implicit real*8(a-h,o-z)
c      common/E_onda/ qcv(modim),mfiv(modim),zlonv(modim)
c      common/B_onda/ qcvb(modim),mfivb(modim),zlonvb(modim)
c      common/radial/radE(ndim,mod2),radB(ndim,mod2)
c      common /cavidad/flon,R0,qmn,qmx,e1,e2,ns
c      common /ecua_dif/delta,pi,h
c      common/dim/idE,idB
c      external absort,eps
c      pas=20.0*h
c      pas=R0/(ndim-1)
c suma de las funciones para los distintos modos
c      temE=0.0d0
c      ro=dabs(rol)
c      j1=int(ro/pas)+1
c      if(j1.ge.ndim)then
c          j1=ndim-1
c      end if
c      j2=j1+1
c      do i=1,idE
c          i1=2*i-1
c          i2=2*i
c      c permutaci n lineal
c          ur=radE(j1,i1)+(radE(j2,i1)-radE(j1,i1))*(ro-pas*(j1-1))/pas
c          up=radE(j1,i2)+(radE(j2,i2)-radE(j1,i2))*(ro-pas*(j1-1))/pas
c          mt=ns*mfiv(i)
c          gam2=eps(ro)*qcv(i)-(zlonv(i))**2
c          t1=-zlonv(i)*dcos(ns*mfiv(i)*teta)*dsin(zlonv(i)*z)
c          if(mfiv(i).eq.0)then
c              t2=0
c          else
c              t2=ns*mfiv(i)*ro**(mt-1)*ur
c          end if
c          t3=ro**mt*up
c          temE=temE+(t2+t3)*t1*absort(qcv(i))/gam2
c      end do
c      temB=0.0d0
c      do i=1,idB
c          i1=2*i-1
c      c permutaci n lineal
c          ur=radB(j1,i1)+(radB(j2,i1)-radB(j1,i1))*(ro-pas*(j1-1))/pas
c          up=radB(j1,i2)+(radB(j2,i2)-radB(j1,i2))*(ro-pas*(j1-1))/pas
c          mt=ns*mfivb(i)
c          t1=dsin(zlonvb(i)*z)/(eps(ro)*qcvb(i)-(zlonvb(i))**2)
c          if(mfivb(i).eq.0)then
c              t2=0
c          else
c              t2=ro**(mt-1)*ur*absort(qcvb(i))*mt
c          end if
c          t3=-3.0d8*dsqrt(qcvb(i))*dsin(ns*mfivb(i)*teta)
c          t3=-3.0d0*dsqrt(qcvb(i))*dsin(ns*mfivb(i)*teta)

```

```

        temB=temB+t2*t1*t3
    end do
    if(rol.ge.0.0)then
        fEr=temB+temE
    else
        fEr=-temB-temE
    end if
    return
end

c -----
function fEl(rol,teta,z)
parameter(ndim=501,modim=14,mod2=28)
implicit real*8(a-h,o-z)
common/E_onda/ qcv(modim),mfiv(modim),zlonv(modim)
common/B_onda/ qcvb(modim),mfivb(modim),zlonvb(modim)
common/radial/radE(ndim,mod2),radB(ndim,mod2)
common /cavidad/flon,R0,qmn,qmx,e1,e2,ns
common /ecua_dif/delta,pi,h
common/dim/idE,idB
external absort
c      pas=20.0*h
pas=R0/(ndim-1)
c suma de las funciones para los distintos modos
temEz=0.0d0
ro=dabs(rol)
j1=int(ro/pas)+1
if(j1.ge.ndim)then
    j1=ndim-1
end if
j2=j1+1
do i=1,idE
    i1=2*i-1
    i2=2*i
c permutaci3n lineal
    ur=radE(j1,i1)+(radE(j2,i1)-radE(j1,i1))*(ro-pas*(j1-1))/pas
    mt=ns*mfiv(i)
    t1=dcos(zlonv(i)*z)*dcos(ns*mfiv(i)*teta)
    t2=ro**mt*ur*absort(qcv(i))
    temEz=temEz+t2*t1
end do
fEl=temEz
return
end
c -----

```

REFERENCIAS

- [1] Brow I G (ed) 1989 The Physics and technology of Ion Sources (New York: Wiley interscience).
- [2] Forrester A T 1988 Large Ion Beams (New York: Wiley interscience).
- [3] Väyli L 1977 Atoms and Ion Sources (New York: Wiley interscience).
- [4] Arianer J 1994 Sources of Particules Chargées ed CNRS ORSAY (in French)
- [5] Moisan M and Pelletier J (ed) 1992 Microwave Excited Plasma
Amsterdam: Elsevier Science)
- [6] Wolf B (ed) 1995 Handbook of Ion Source (Boca Raton, FL Chemical Rubber Company)
- [7] R Geller, Electron Cyclotron Resonance Ion Sources and ECR Plasmas.
(Institute of Physics Publishing Bristol Philadelphia, 1996)
- [8] V.D. Dougar-Jabon, A. M. Umnov, D. Suesun Díaz 2004 Properties of plasma in a minimum-B trap via numerical modeling Physical Scripta, Vol. 70, p.38-42.
- [9] V. D. Dougar-Jabon, A. M. Umnov, F.A.Vivas Lejía 2000 Plasma confinement in an electron cyclotron double cusp trap, Physical Scripta, Vol. 62, p.183-185.
- [10] E. H. Holt and R. E. Haskell, Foundations of Plasma Dynamics(The Macmillan Company, New York 1965)
- [11] L. D. Landau and E. M. Lifshitz, Electrodynamics of Continuous Media (Addison-Wesley Publishing Company, Inc, 1960)
- [12] John David Jackson, Classical Electrodynamics (John Wiley & Sons, Inc,1999)
- [13] Larry Nyhoff and Sanford leestma, Fortran 77 for Engineers and scientists (Prentice Hall, Upper Saddle River, New Jersey, 1996)

BIBLIOGRAFÍA

- Brow I G (ed) 1989 The Physics and technology of Ion Sources (New york: Wiley interscience).
- Forrester A T 1988 Large Ion Beams (New York: Wiley interscience).
- Väyli L 1977 Atoms and Ion Sources (New York: Wiley interscience).
- Arianer J 1994 Sources of Particules Chargées ed CNRS ORSAY (in French)
- Moisan M and Pelletier J (ed) 1992 Microwave Excited Plasma Amsterdam: Elsevier Science)
- Wolf B (ed) 1995 Handbook of Ion Source (Boca Raton, FL Chemical Rubber Company)
- R Geller, Electron Cyclotron Resonance Ion Sources and ECR Plasmas. (Institute of Physics Publishing Bristol Philadelphia, 1996)
- V.D. Dougar-Jabon, A. M. Umnov, D. Suesun Díaz 2004 Properties of plasma in a minimum-B trap via numerical modeling Physical Scripta, Vol. 70, p.38-42.
- V. D. Dougar-Jabon, A. M. Umnov, F.A.Vivas Lejía 2000 Plasma confinement in an electron cyclotron double cusp trap, Physical Scripta, Vol. 62, p.183-185.
- E. H. Holt and R. E. Haskell, Foundations of Plasma Dynamics(The Macmillan Company, New York 1965)
- L. D. Landau and E. M. Lifshitz, Electrodynamics of Continuous Media(Addison-Wesley Publishing Company, Inc, 1960)
John David Jackson, Classical Electrodynamics (John Wiley & Sons, Inc, 1999)
- Larry Nyhoff and Sanford leestma, Fortran 77 for Engineers and scientists (Prentice Hall, Upper Saddle River, New Jersey, 1996)